

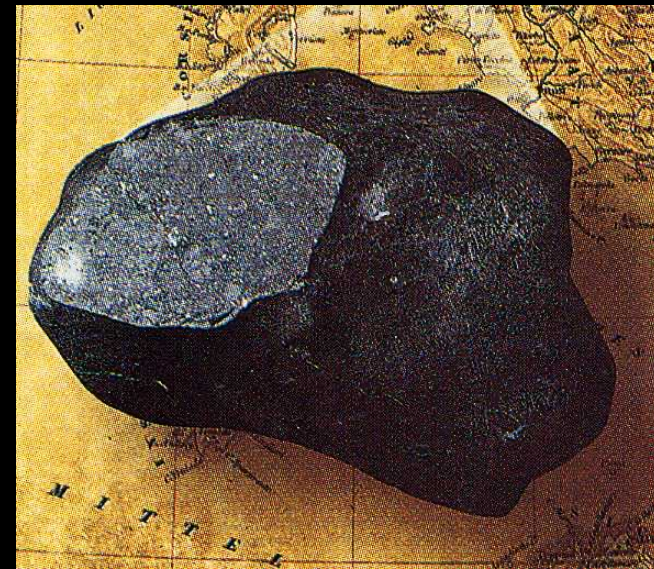
# Les météorites

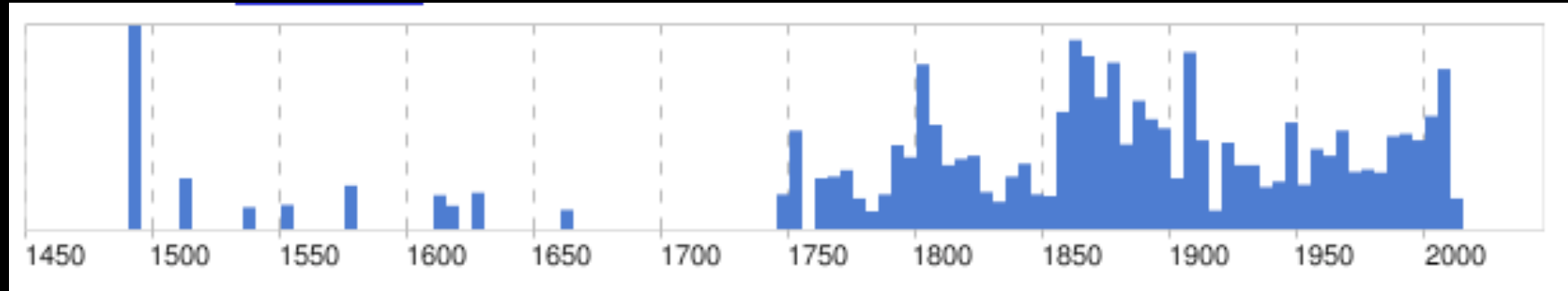
## Des roches extraterrestres qui racontent la Terre et les Planètes



# Que sont les météorites ?

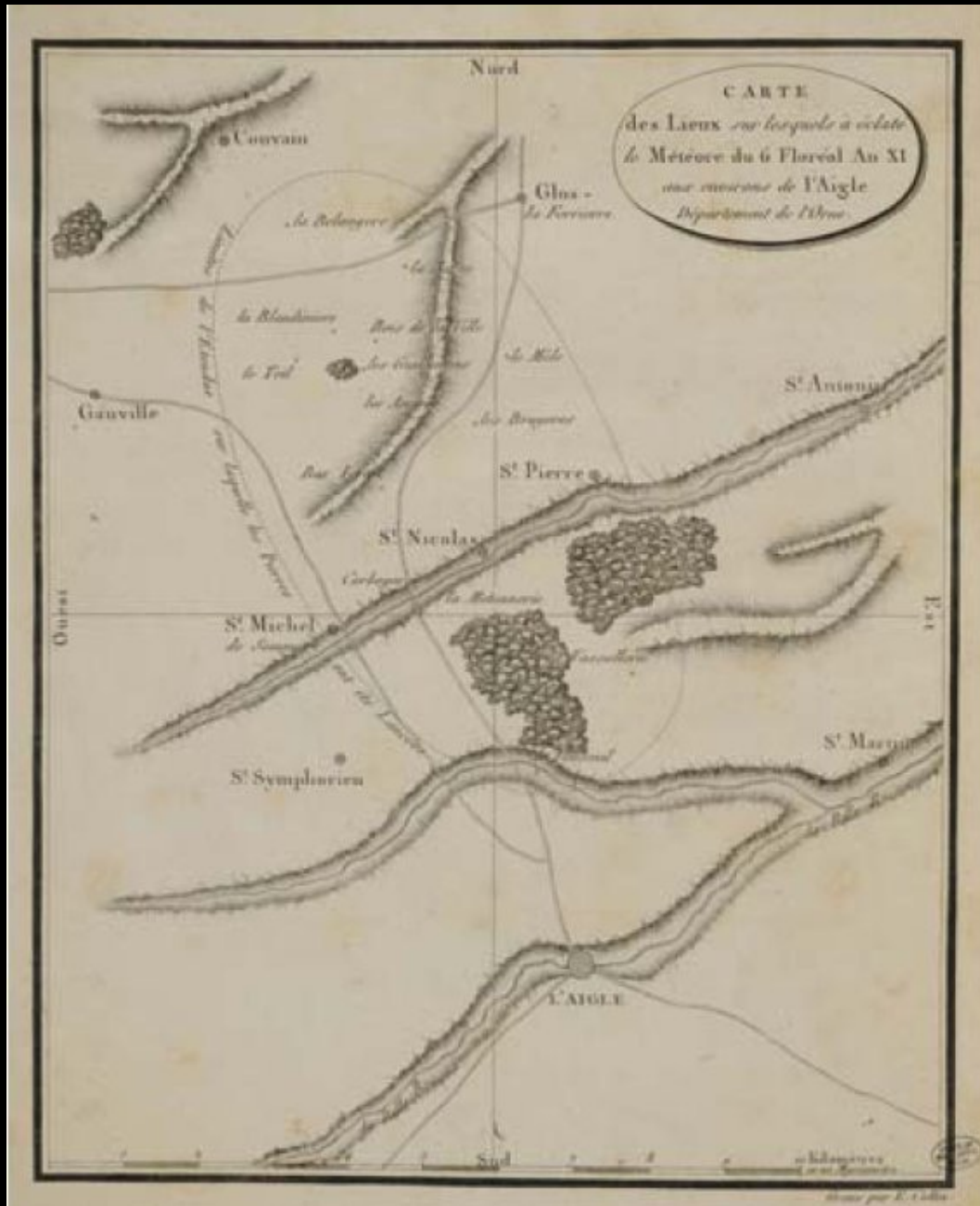
- Des roches extra-terrestres
- Issues d'astéroïdes, de la Lune ou de Mars





## Chute d'Ensisheim (1492)

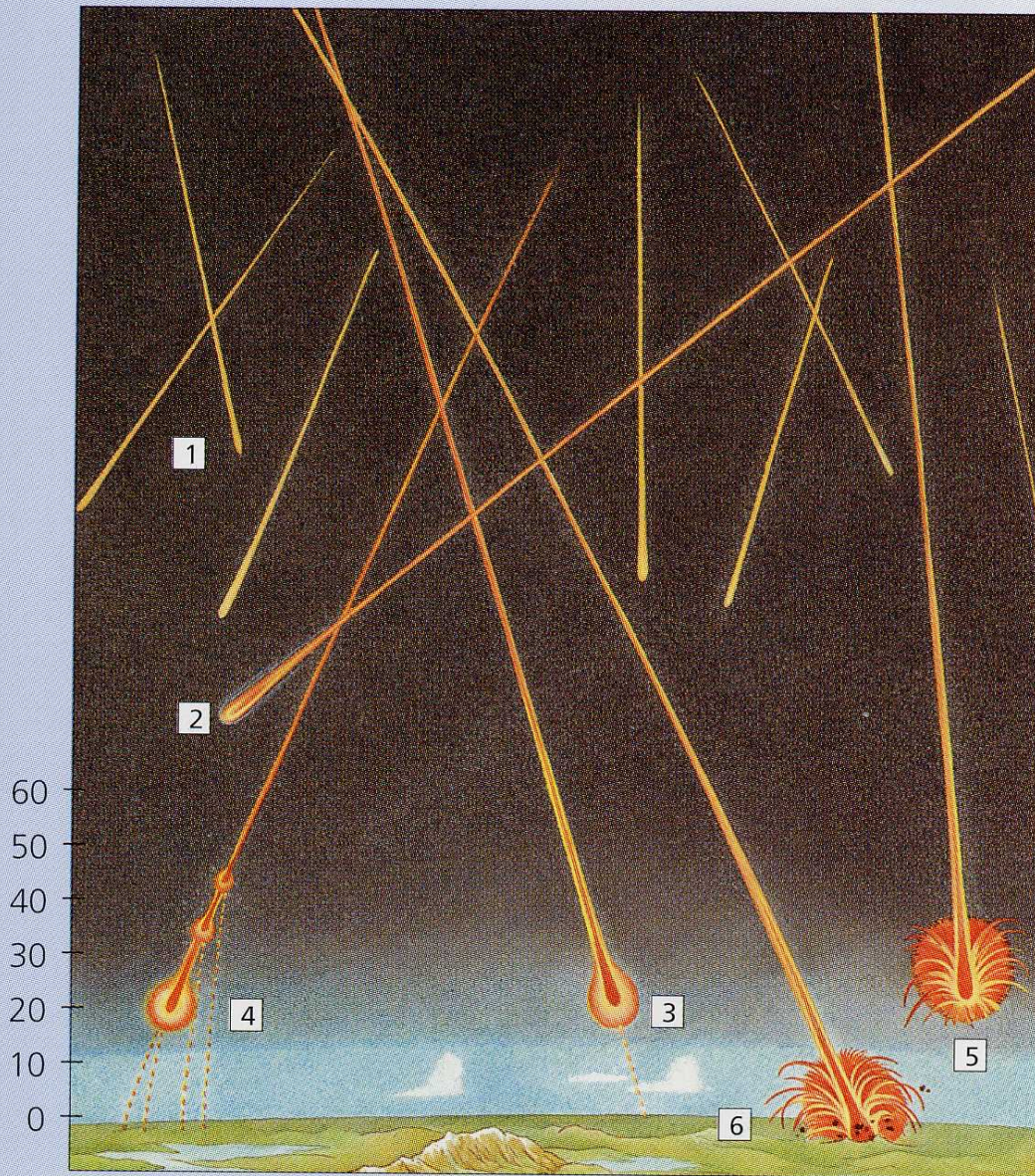




## Chute de L'Aigle (1803)



*Jean-Baptiste Biot*



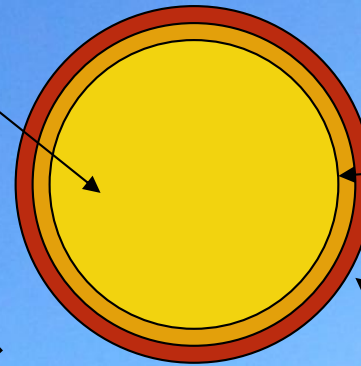
Représentation schématique  
du passage dans l'atmosphère  
de différentes météorites.

Par ordre de masses croissantes :

- 1 : étoiles filantes,
- 2 : boule de feu ; l'objet est  
entièrement détruit par  
ablation dans l'atmosphère,
- 3 : l'objet est détruit en grande  
partie dans l'atmosphère et une  
météorite atteint le sol,
- 4 : fragmentation d'une  
météorite dont les morceaux  
se répartissent sur une ellipse  
de chute,
- 5 : météorite de pierre d'une  
dizaine de mètres de diamètre  
explosant dans l'atmosphère,
- 6 : très grosse météorite  
formant un cratère d'impact  
en arrivant au sol.

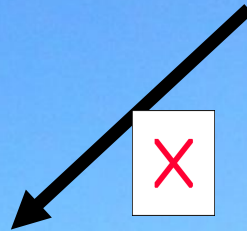


**Roche intacte**

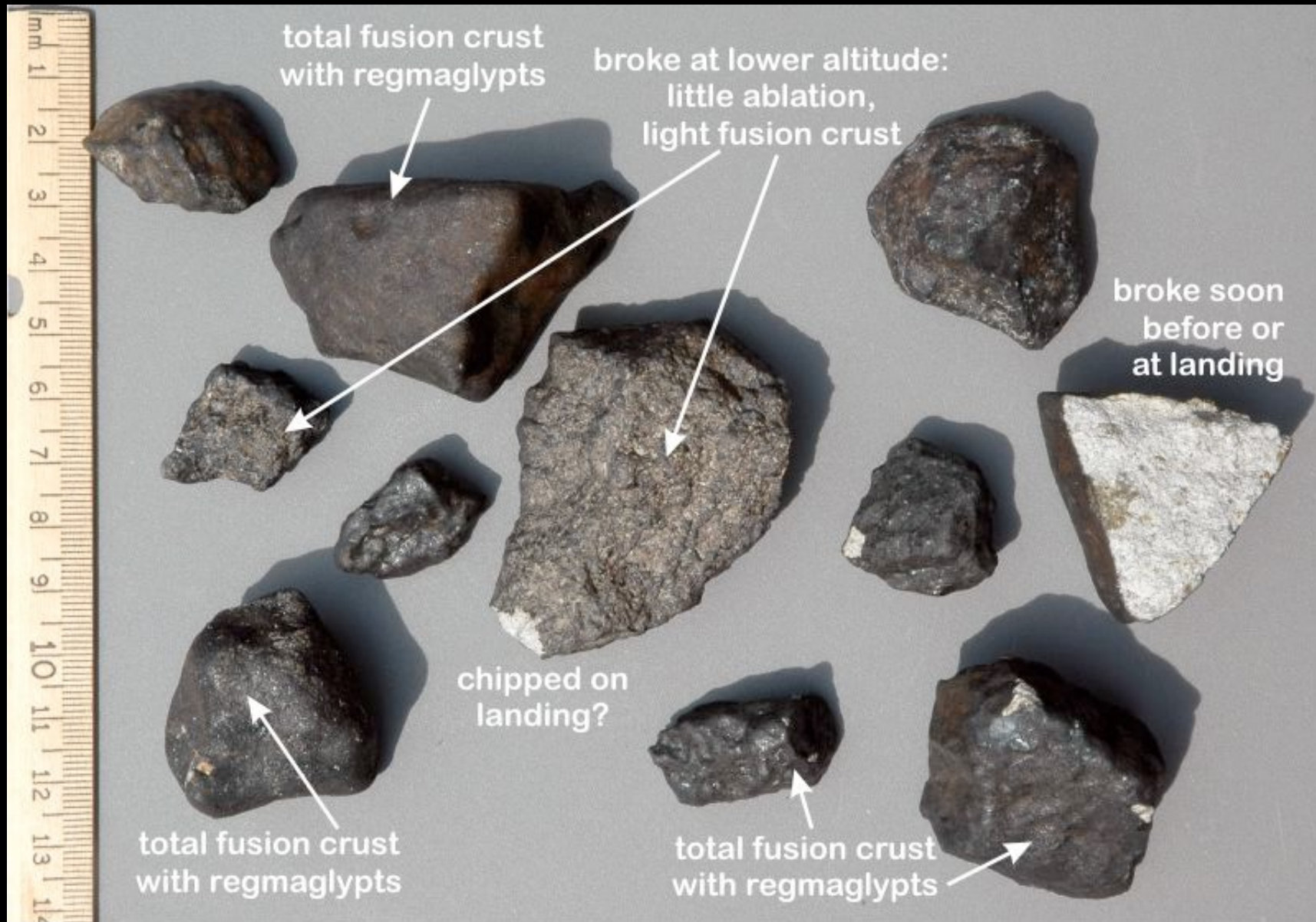


**Onde de chaleur**

**Croûte de fusion :  $T=cste$**



# Croûte de fusion





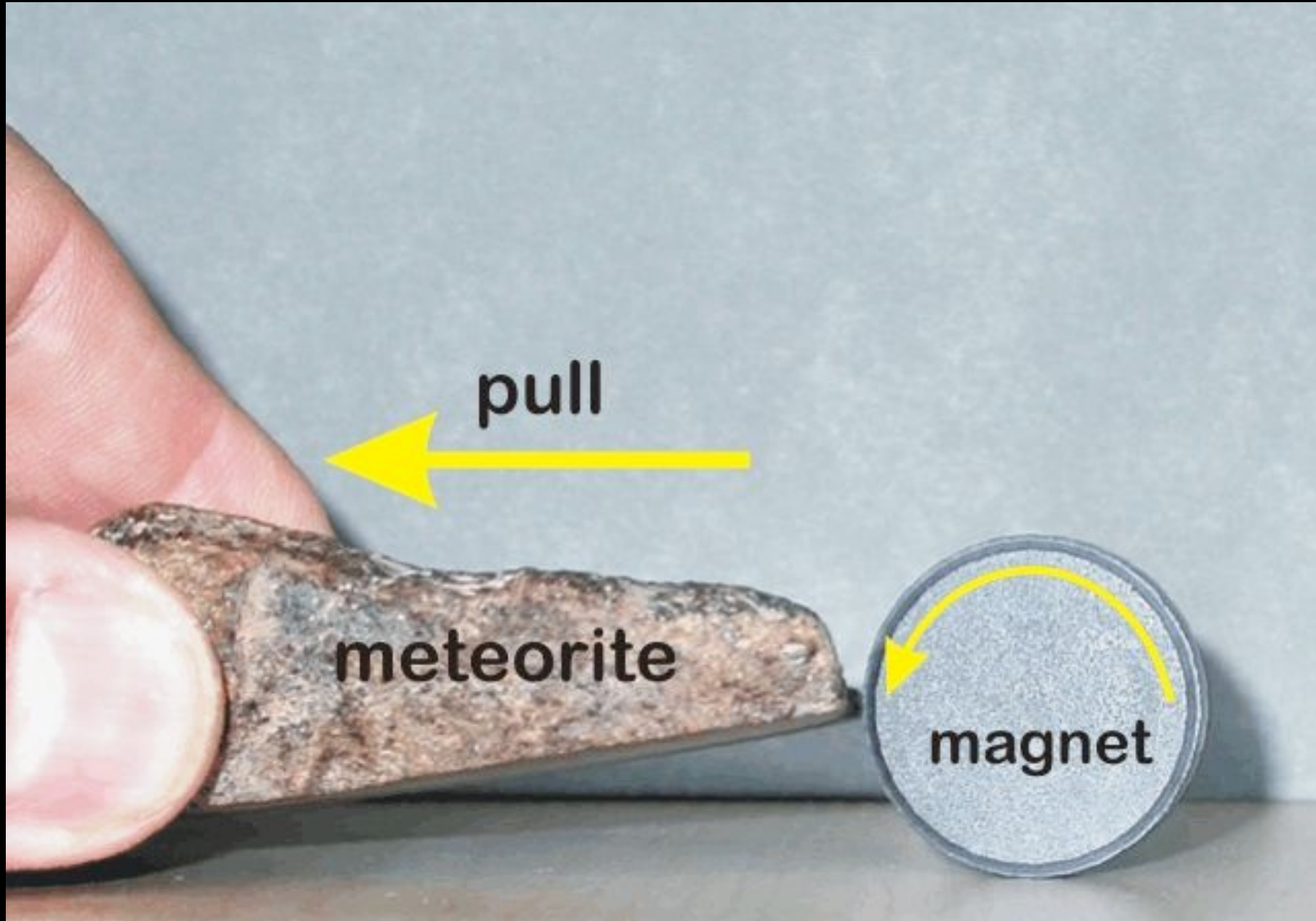
# Contours anguleux mais émoussés



# Regmaglypts



# Métal et aimantation



**Faux positifs !**









# Quatre familles principales

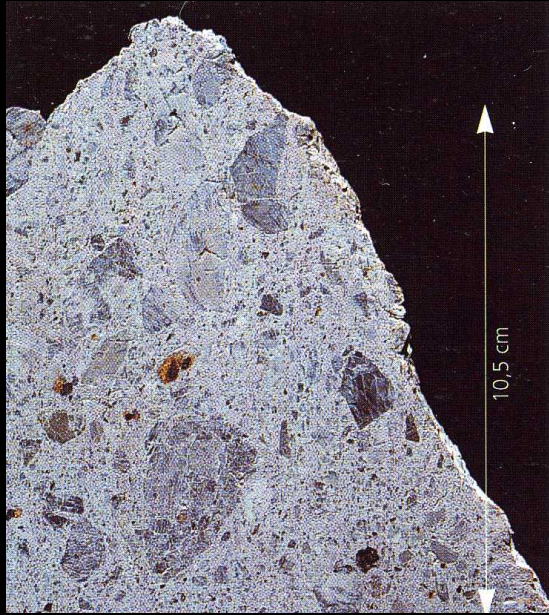


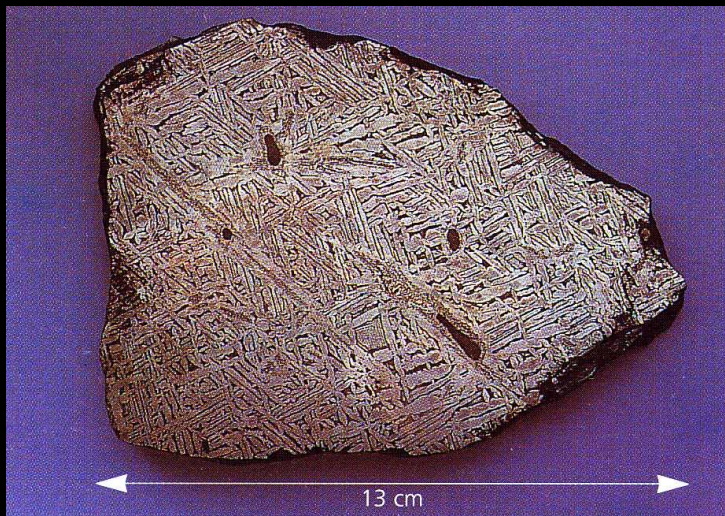
Fig.2, les chondres sont des microbilles de quelques microns à quelques millimètres, constitués de silicates de haute T° et d'autres minéraux dont certaines espèces (sulfures, nitrures entre autres) sont inconnues sur Terre



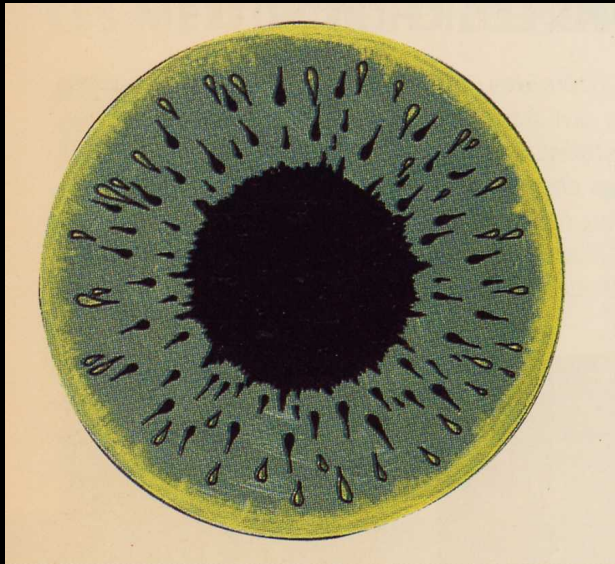
microphotographie



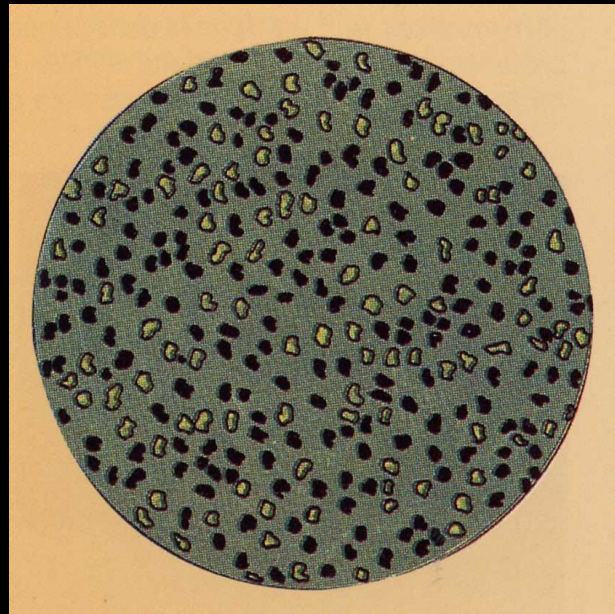
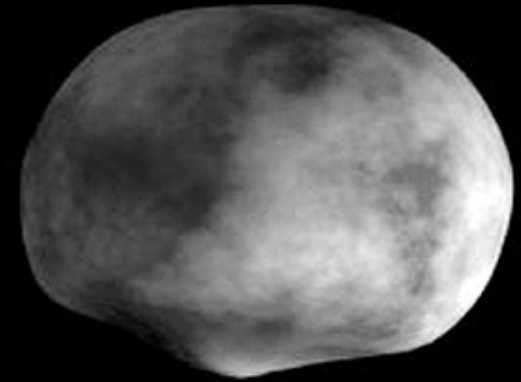
b) lame mince.





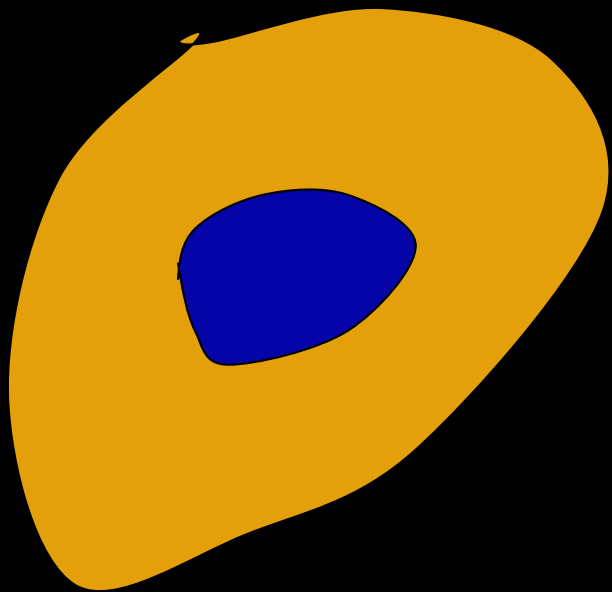


**Corps Différencié**  
NOYAU : métalliques  
MANTEAU : achondrite  
INTERFACE N-M : Pallasites

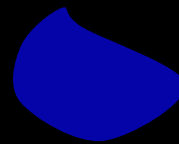


**Corps non différencié**  
**Chondrites**

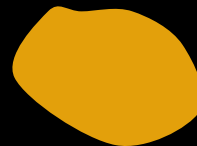




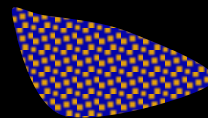
COLLISION



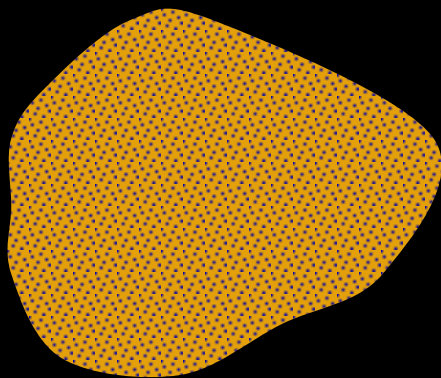
Métallique



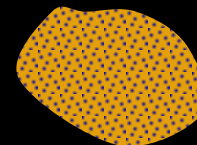
Achondrite



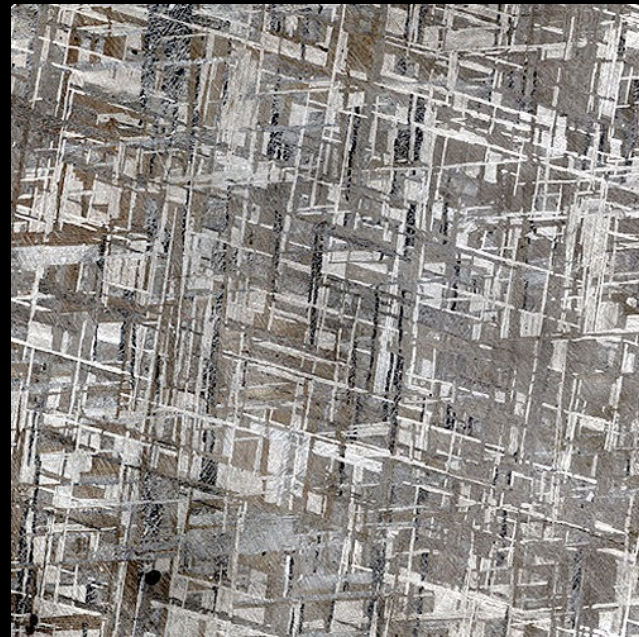
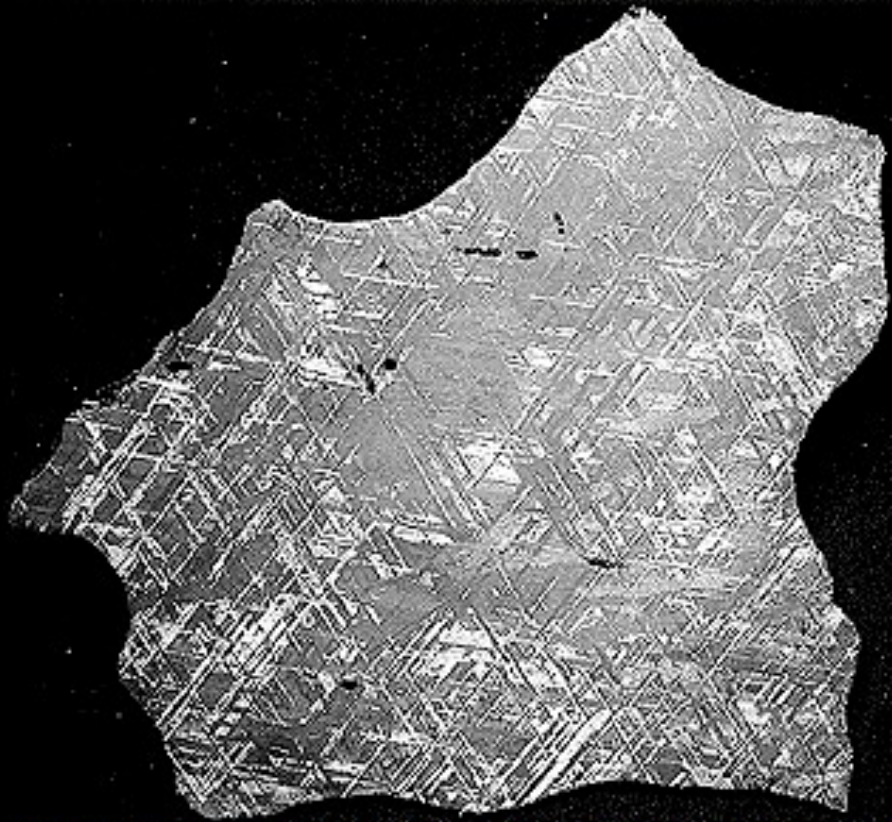
Litho-sidérite  
(pallasite)



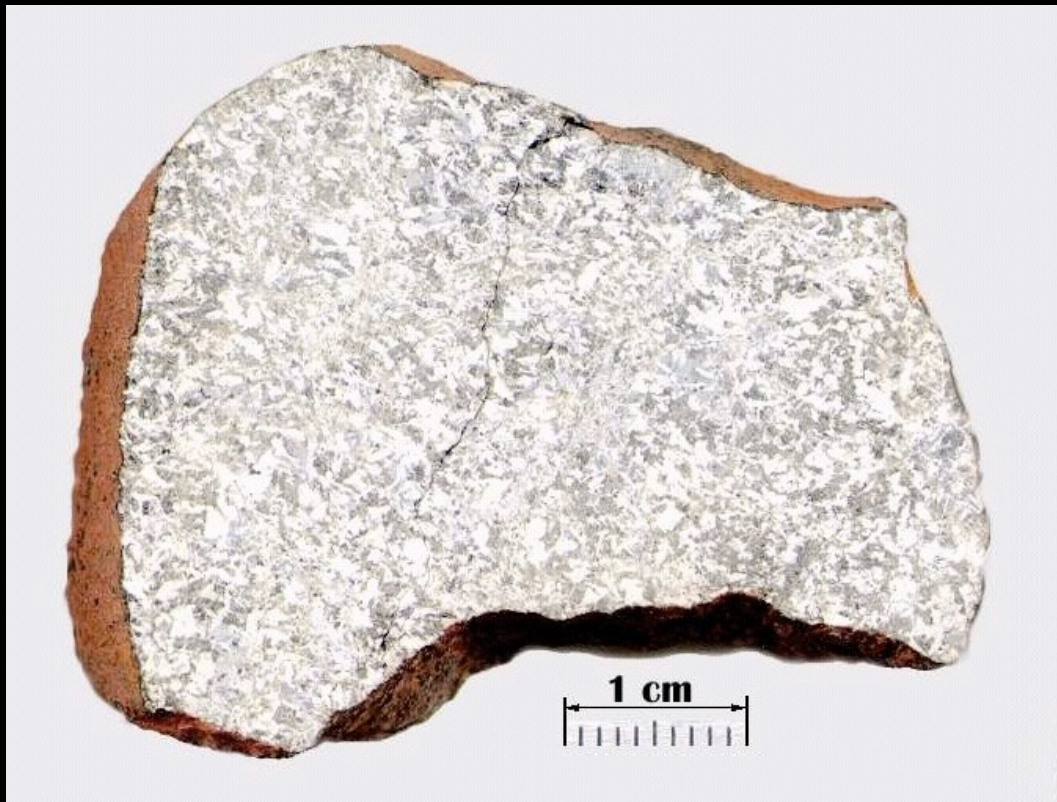
COLLISION



Chondrite











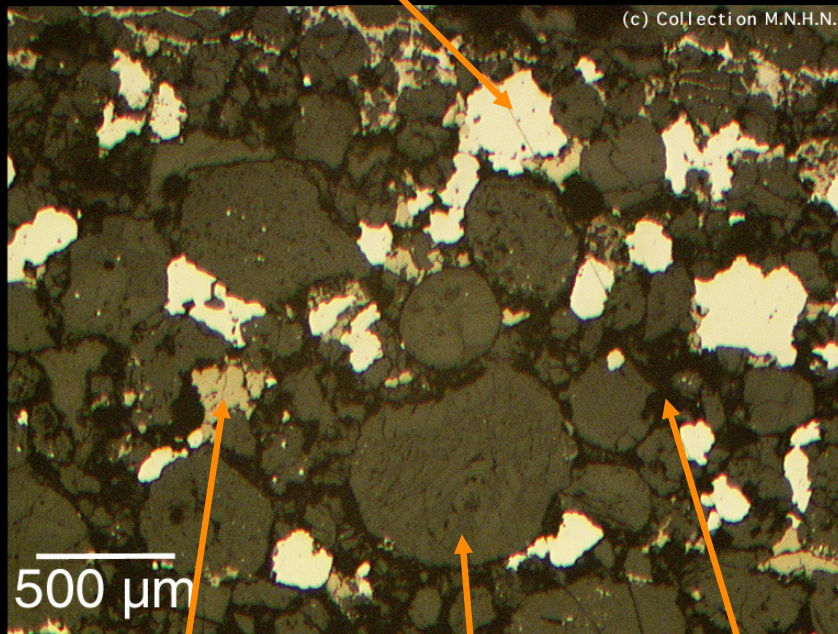




# Que contiennent-elles ?

Les chondrites : roches primitives

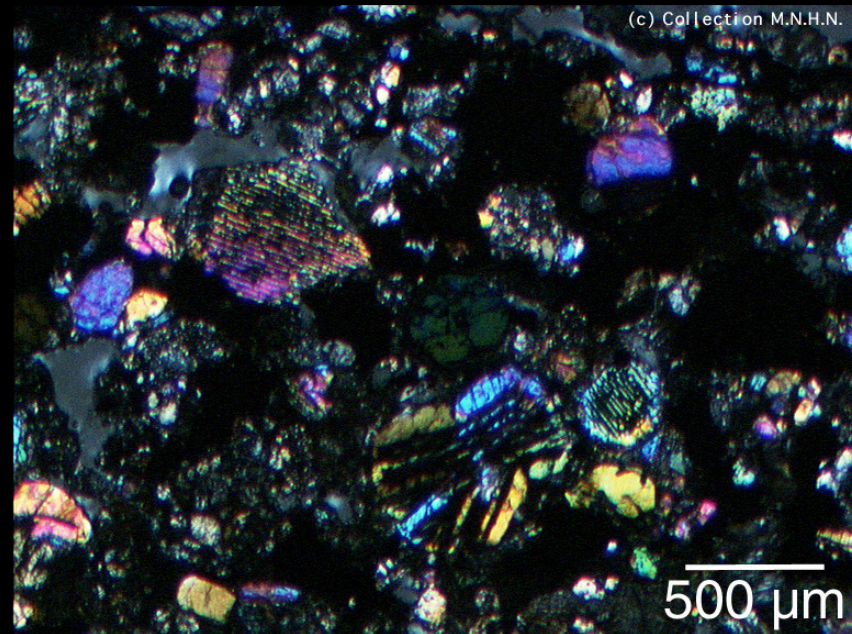
métal

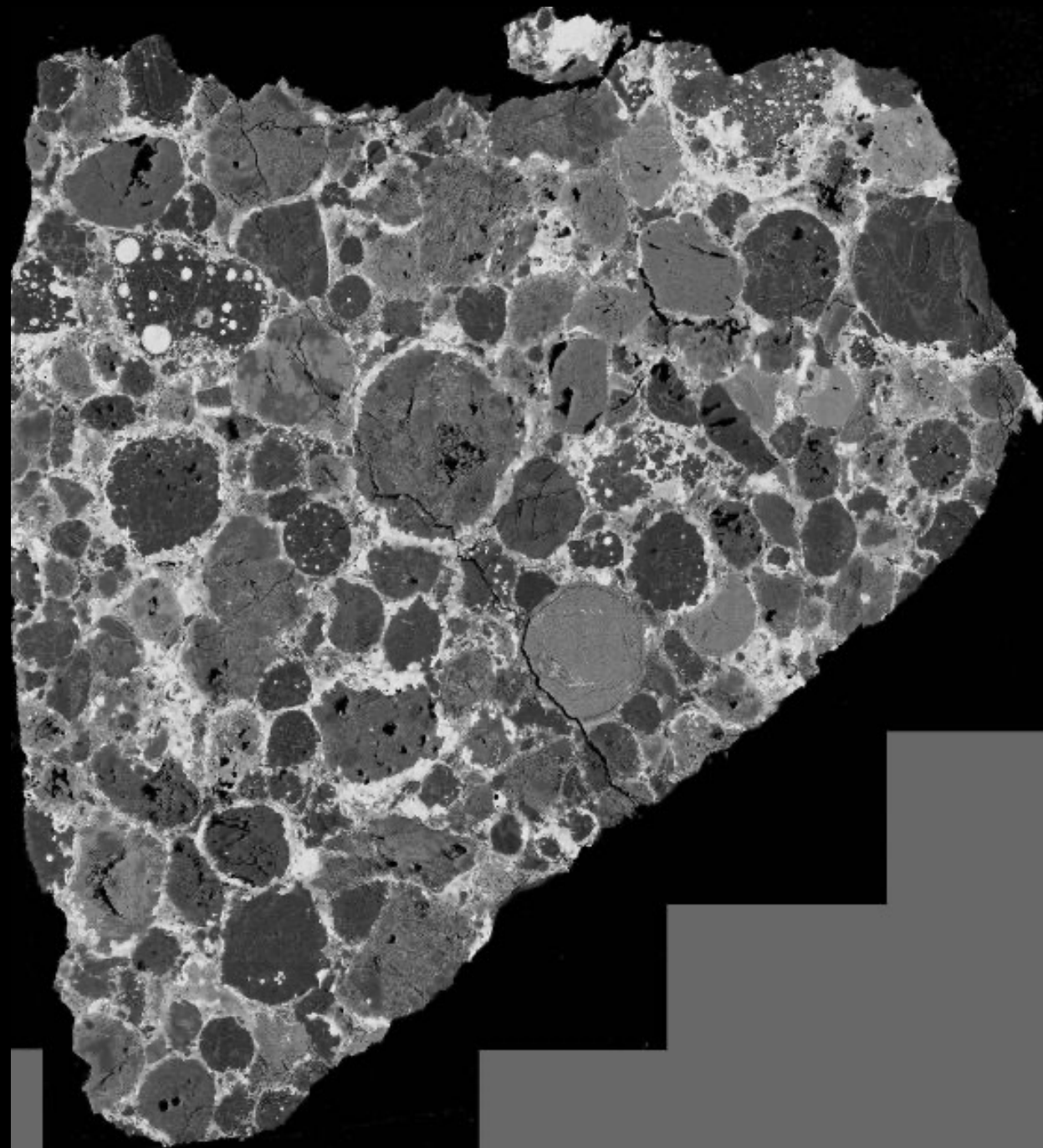


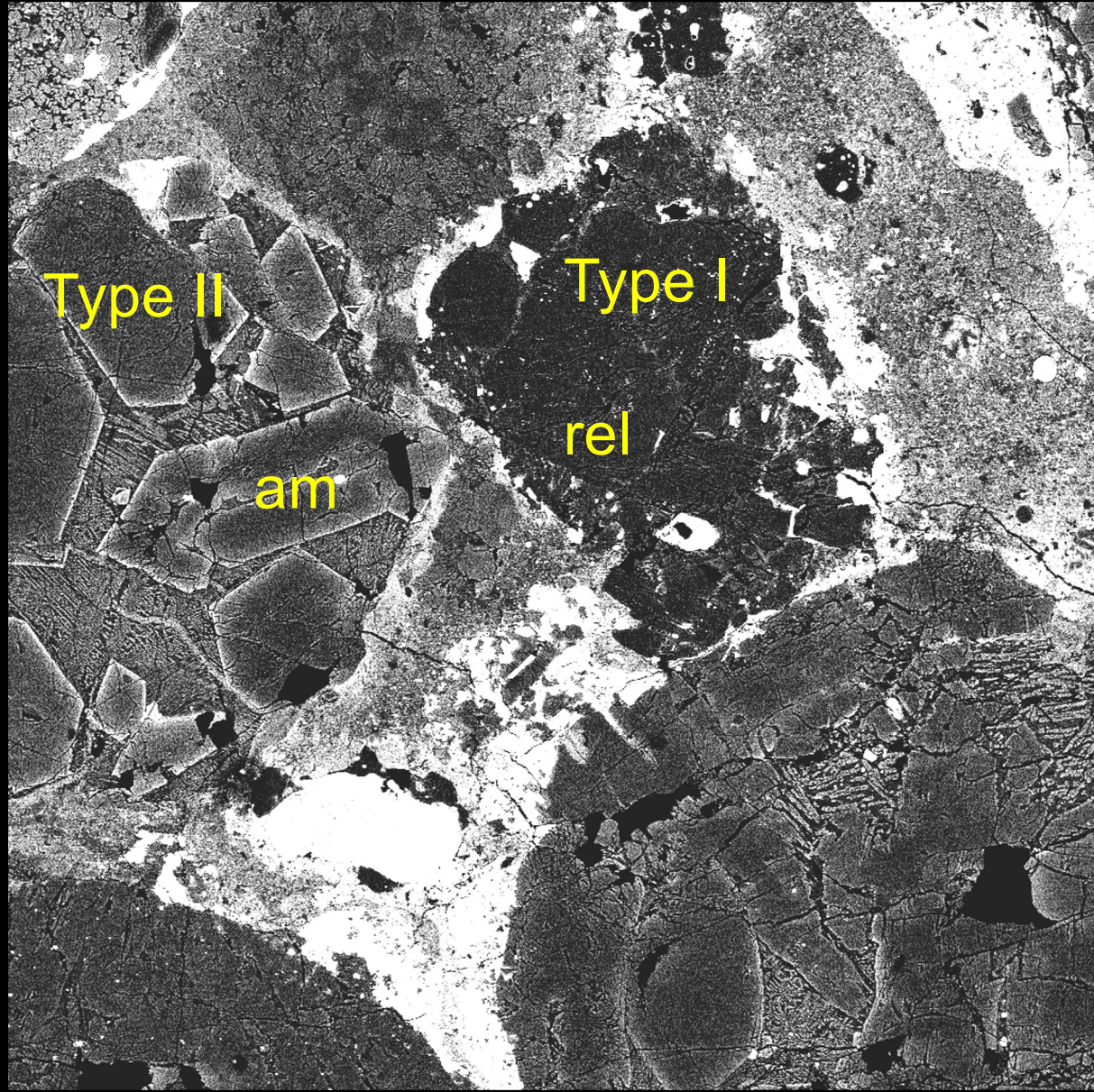
sulfure

chondre

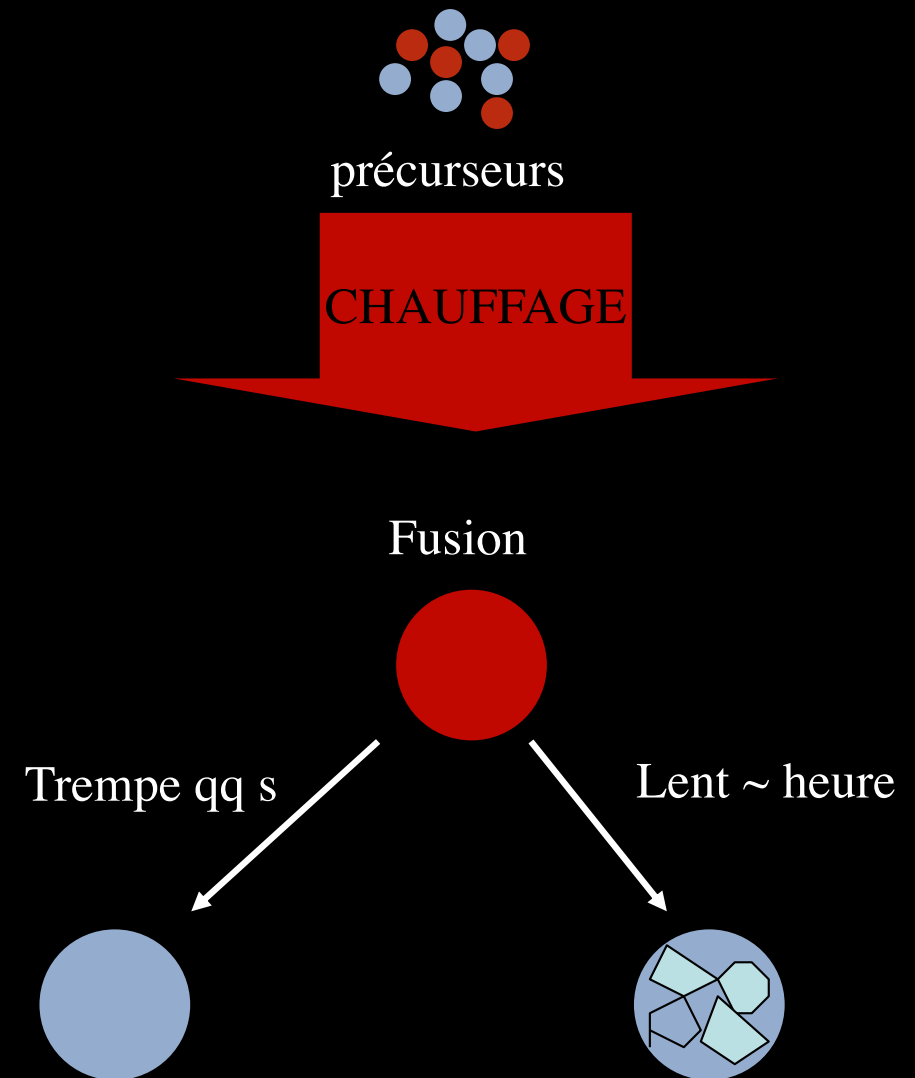
matrice



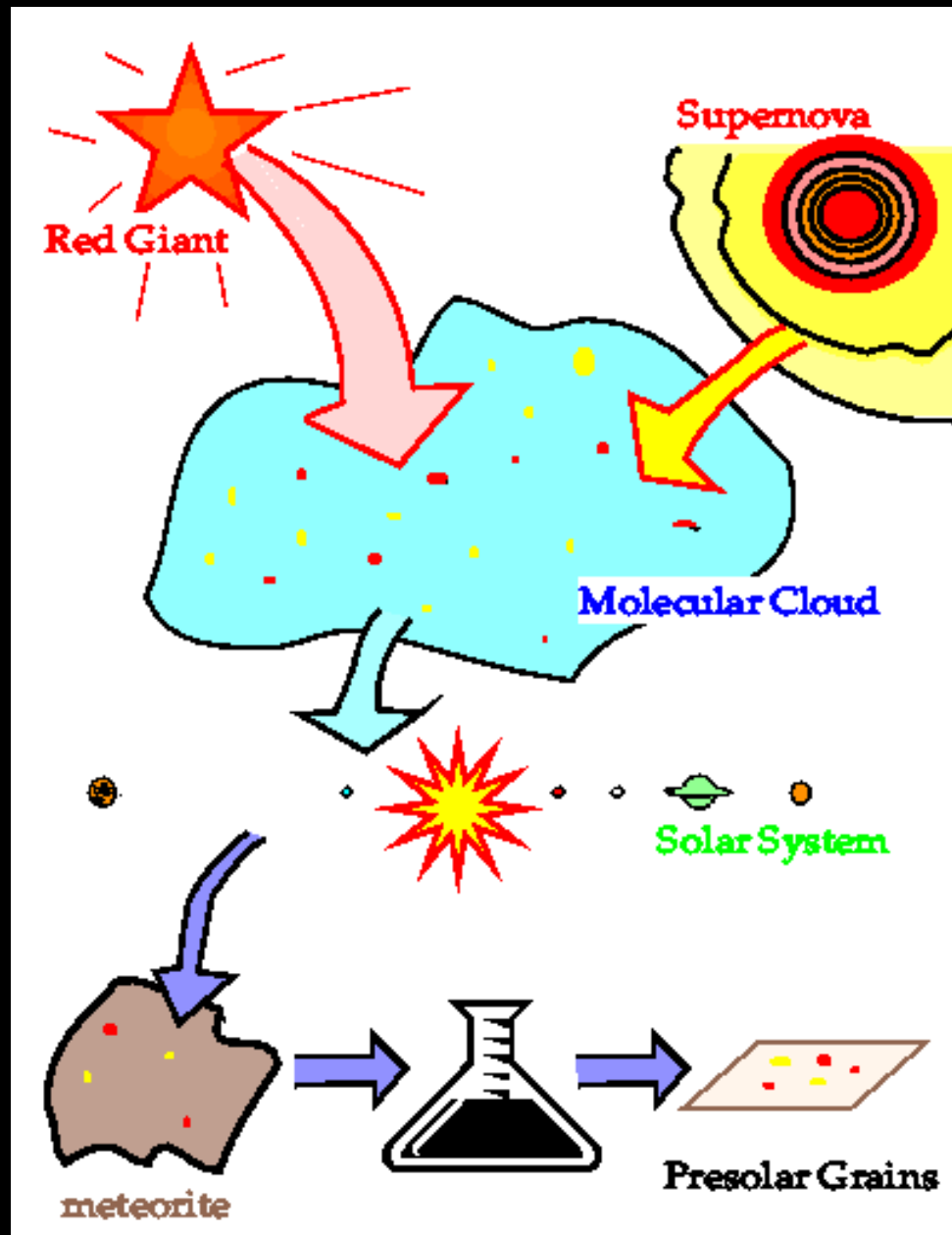


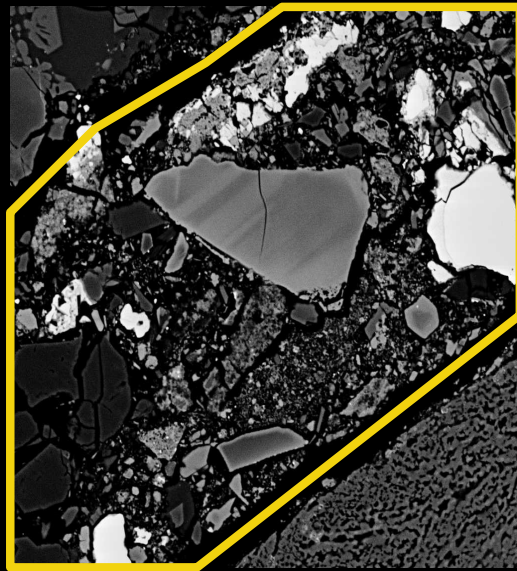


# Les chondres : phases formées en apesanteur dans la nébuleuse

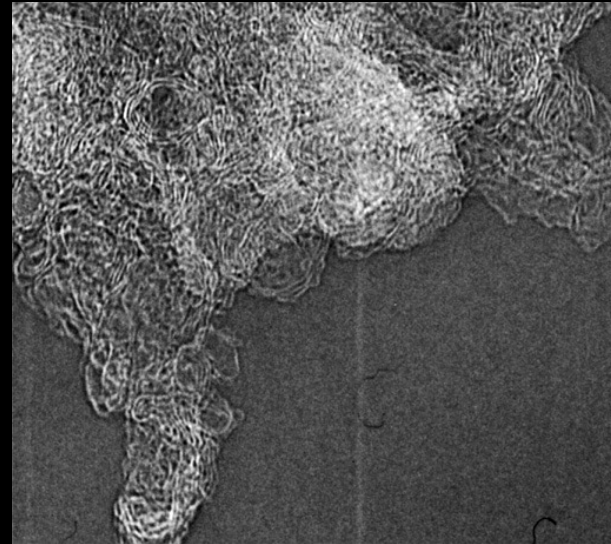


# Des phases présolaires dans la matrice des chondrites

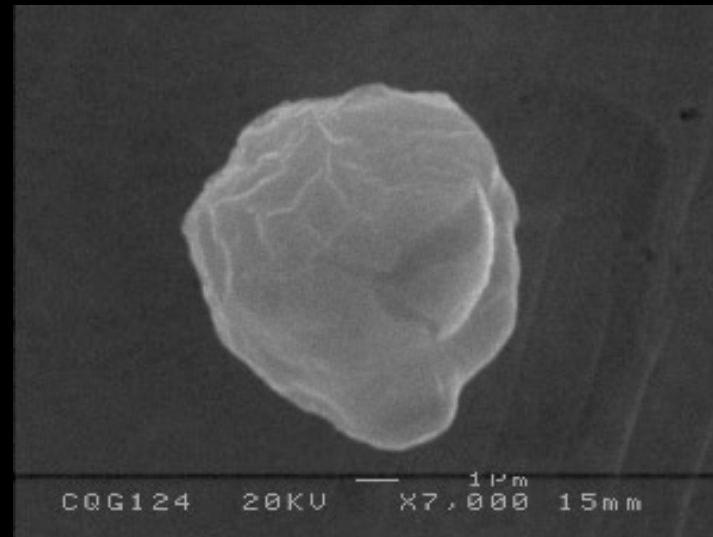




Matière organique

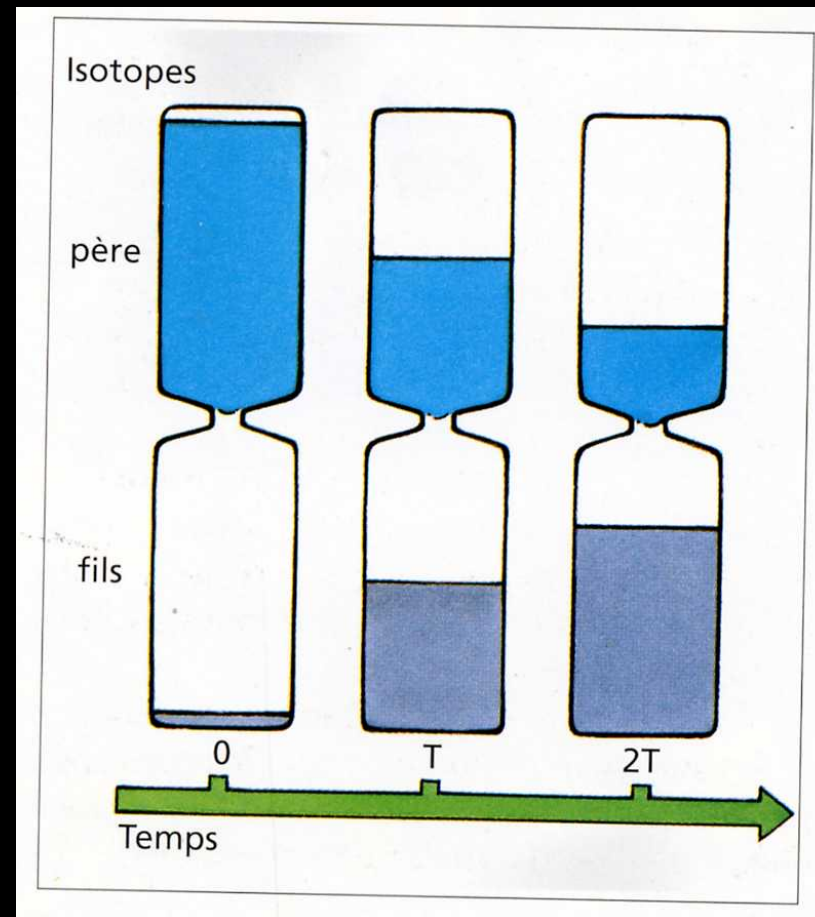


Grains présolaires



# Quel âge ont-elles ?

## CHRONOMETRES RADIOACTIFS



# Droite de fractionnement

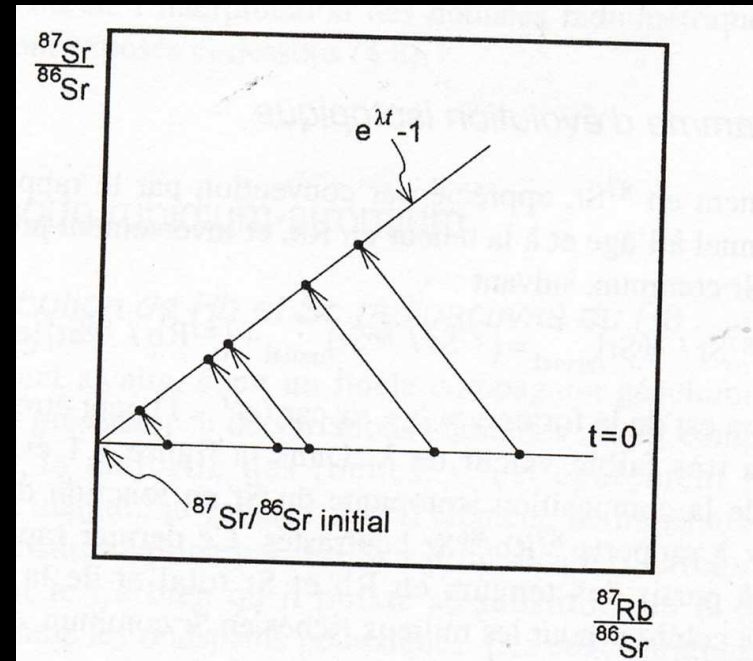
## Objets non-différenciés

Tieschitz (chondrite H)

$([4,53 \pm 0,06]10^9 \text{ ans ; } Sr_i = 0,698 80 \pm 0,000 20),$

Chainpur (chondrite LL)

$([4,52 \pm 0,06]10^9 \text{ ans ; } Sr_i = 0,698 30 \pm 0,000 84).$



## Objets différenciés

Guarena

$([4,48 \pm 0,08]10^9 \text{ ans ; } Sr_i = 0,699 95 \pm 0,000 15),$

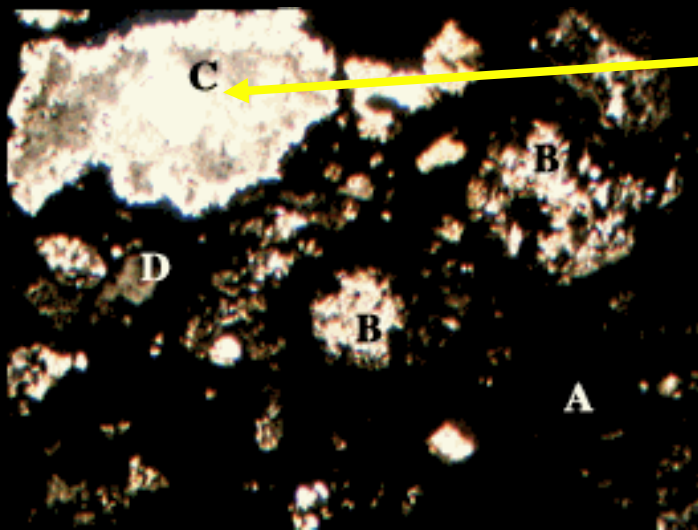
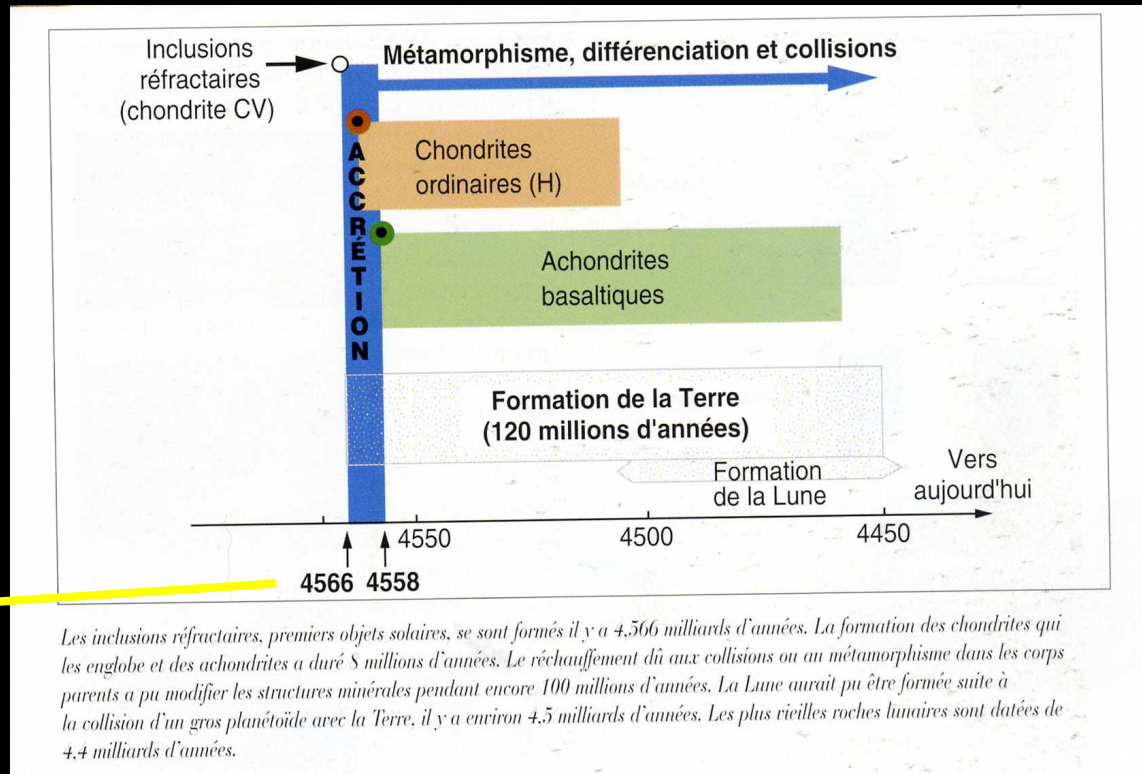
Saint-Séverin

$([4,51 \pm 0,15]10^9 \text{ ans ; } Sr_i = 0,699 03 \pm 0,000 20),$

Jelica

$([4,423 \pm 0,041]10^9 \text{ ans ; } Sr_i = 0,699 59 \pm 0,000 29).$





# L'âge de la Terre

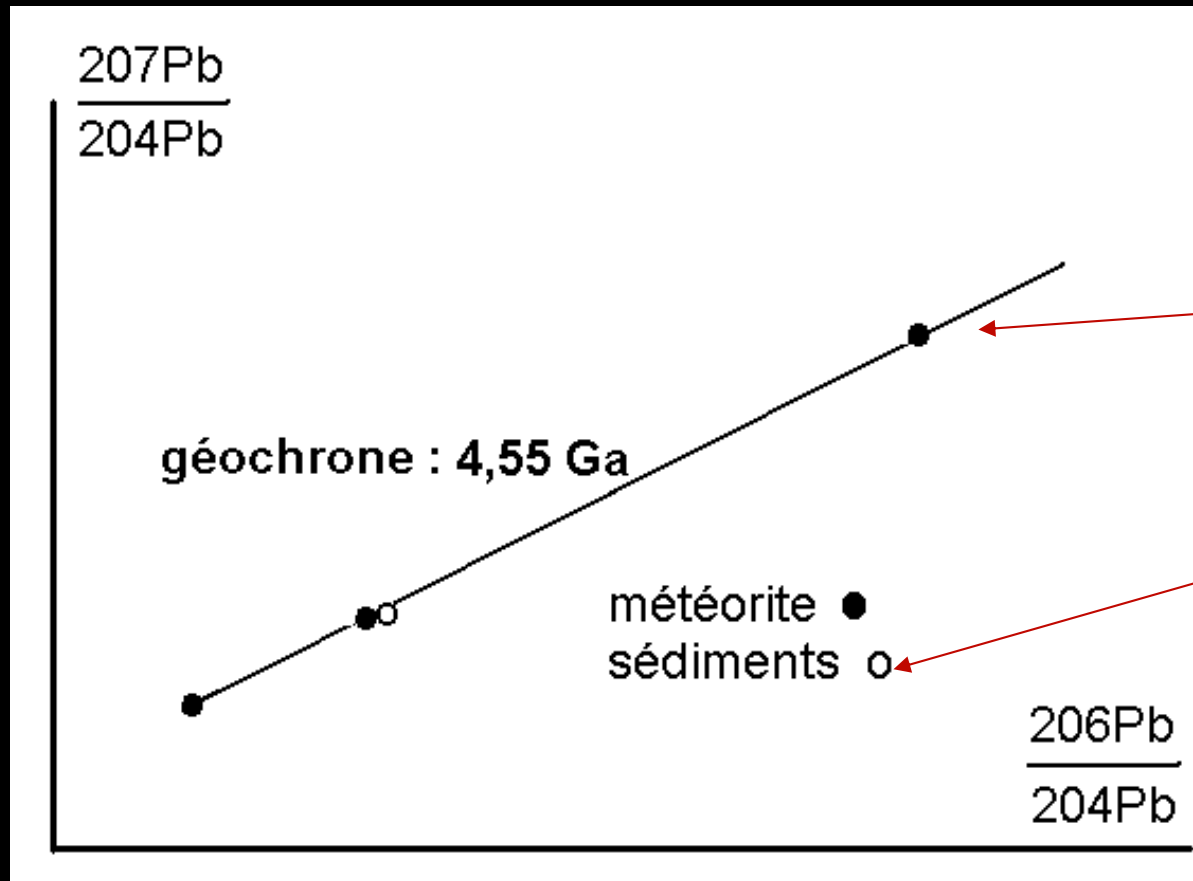
6000 ans

80000 ans  
Buffon

10 Ma  
Lork Kelvin

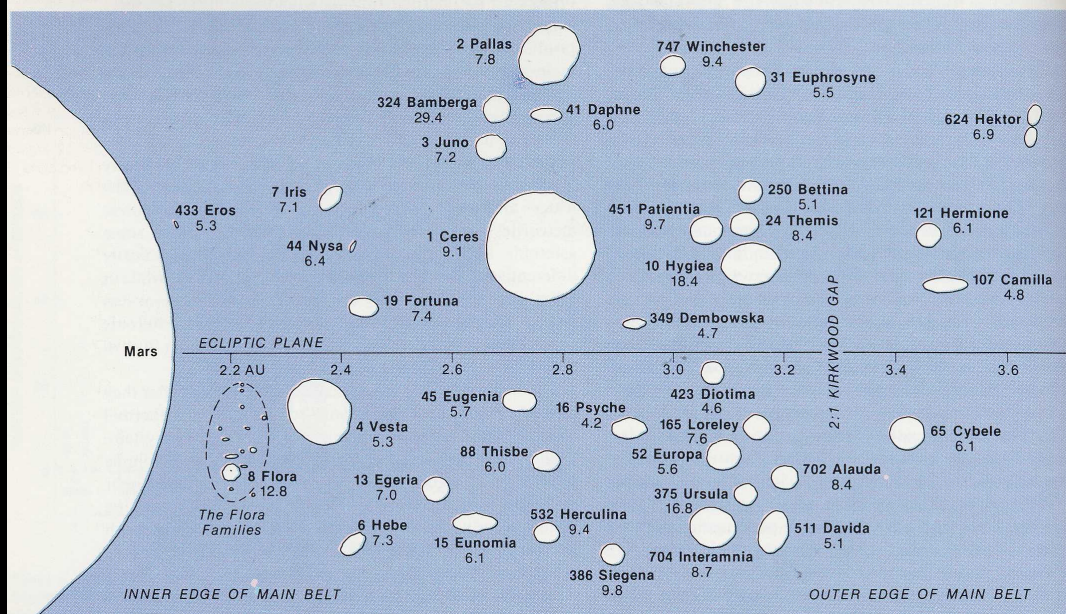
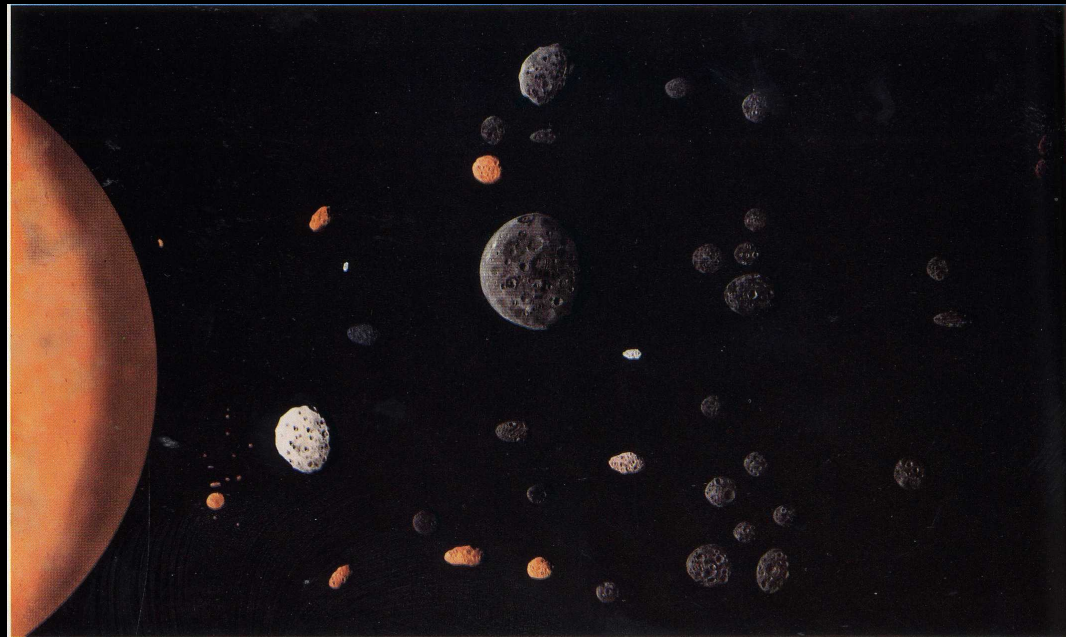
Plusieurs Ga  
Rutherford

4.55 Ga  
C. Patterson



**Terre, Lune et Météorites sont cogéniques**

# Les astéroïdes, parents



# Exploration spatiale

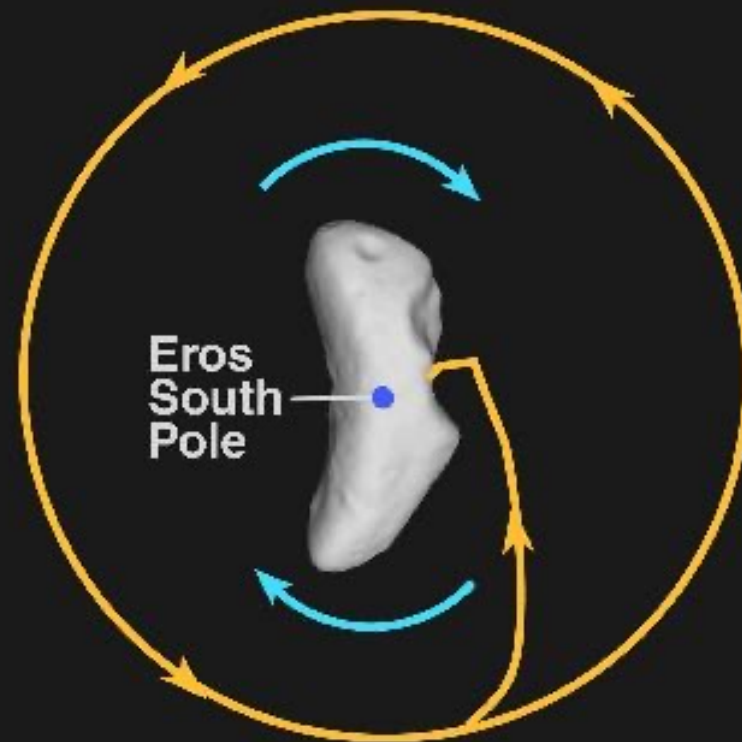


**Mathilde**

**Gaspra**

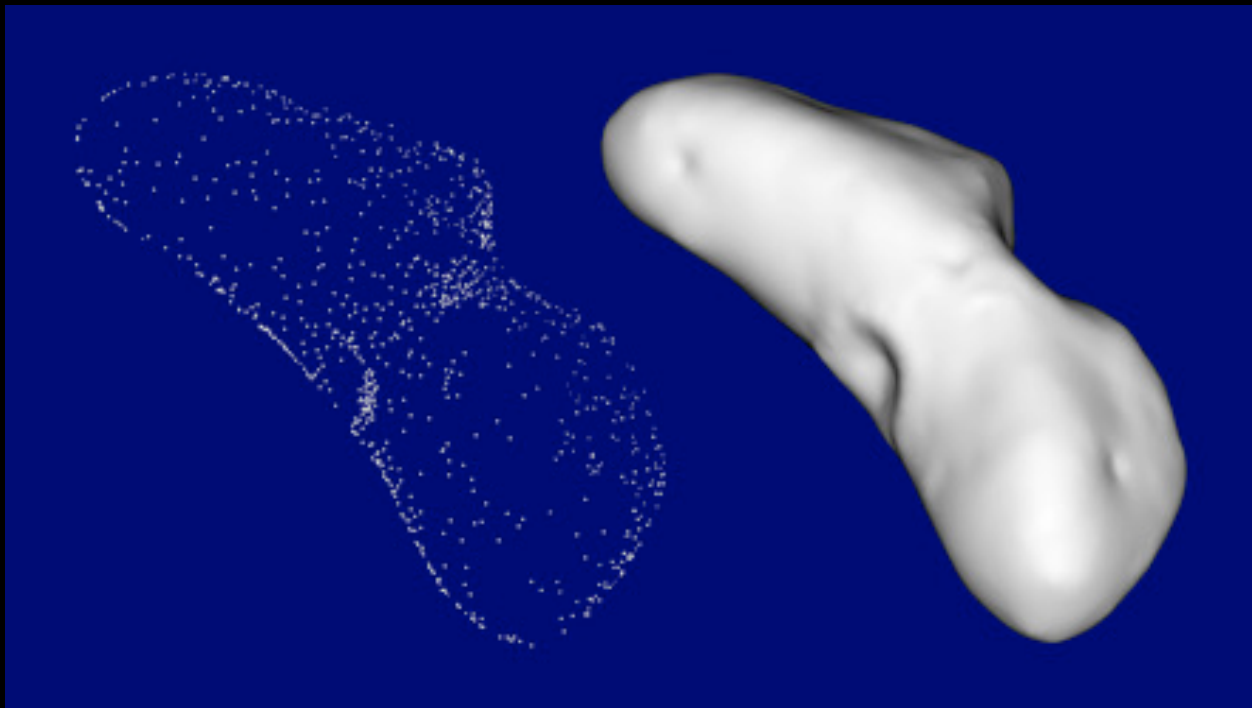
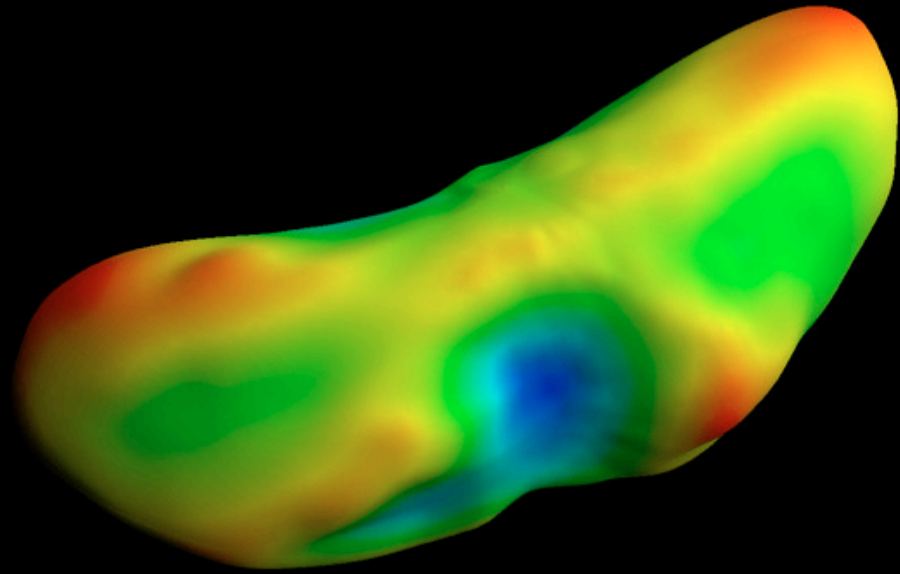
**Ida**

## NEAR Shoemaker Final Descent from 35-km Orbit



View from Sun





M0151298544F4

December 4 2000 00:05:10

21° 213°



# Planétologie comparée : la Lune



Pas d'atmosphère  
Pas de champ magnétique

EROSION SPATIALE



# ALTERATION DE LA ROCHE DE SURFACE

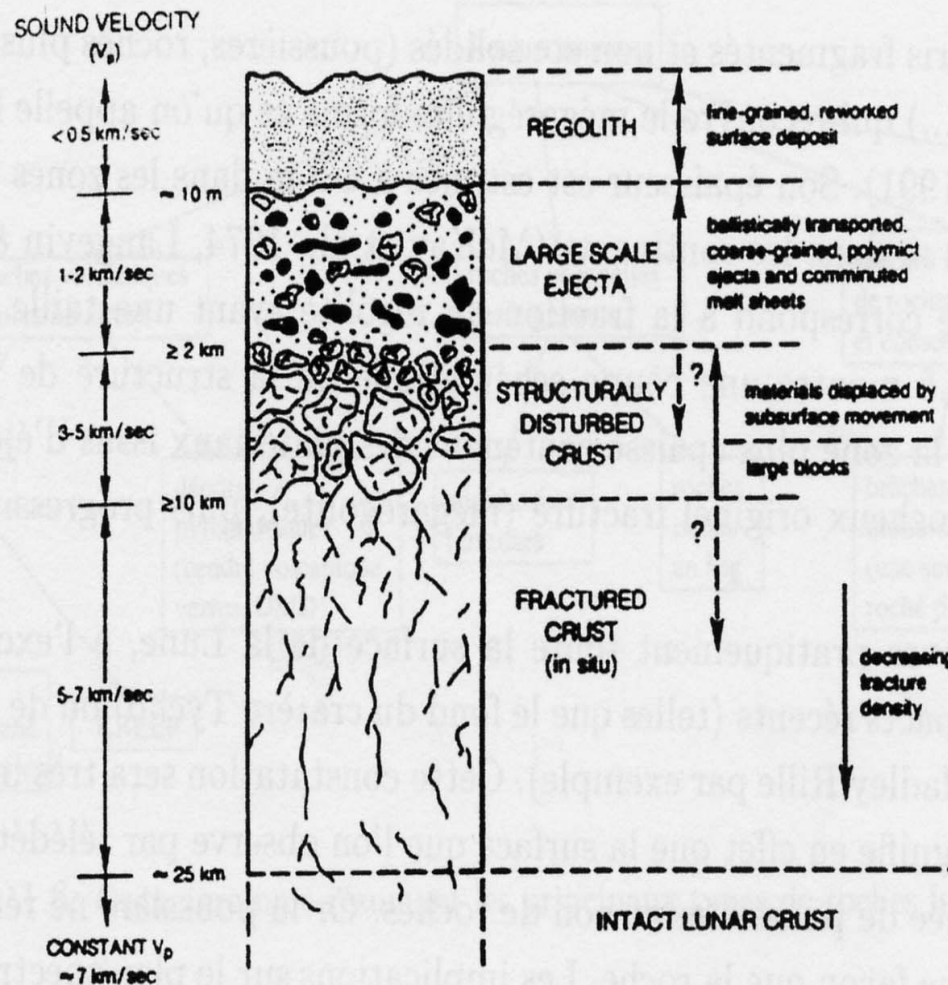
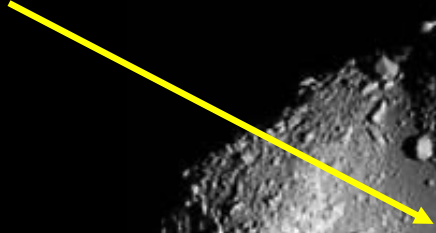


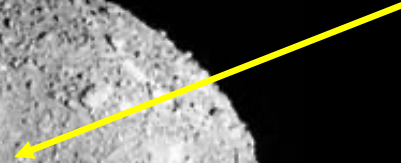
FIG. 1.5: Coupe schématique de la croûte lunaire montrant le régolite, le mégarégolite et le socle rocheux. D'après Horz et al. (1991).

# Itokawa

Smooth



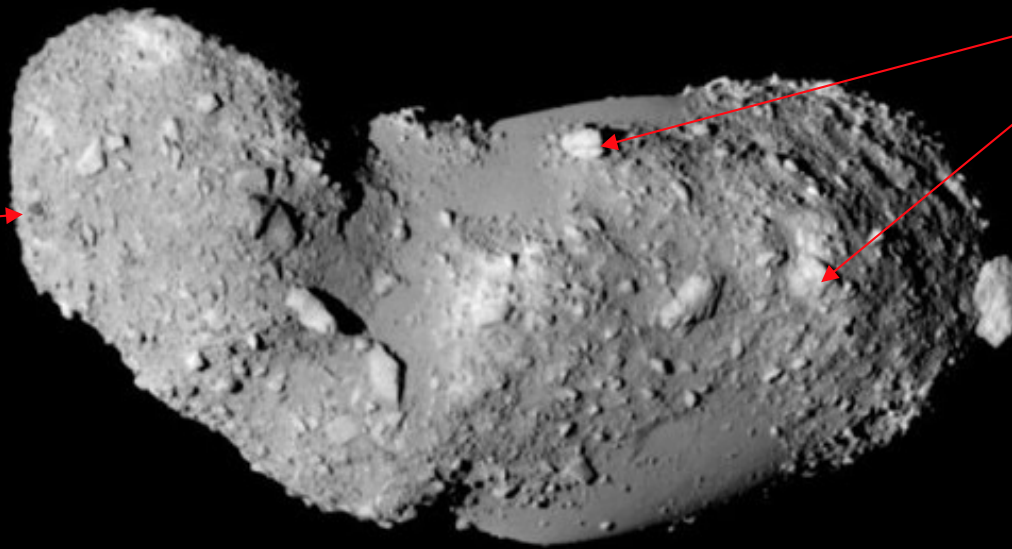
Rough

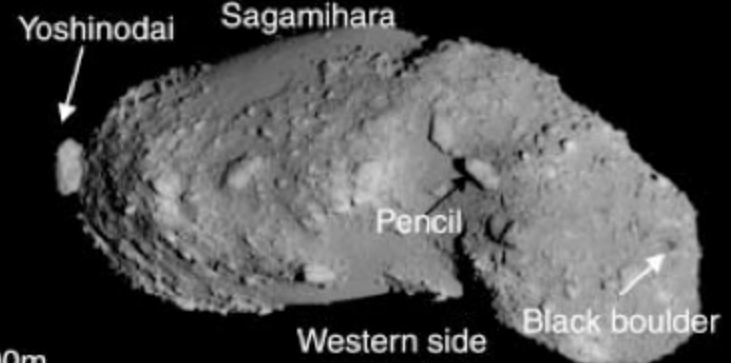


Boulders

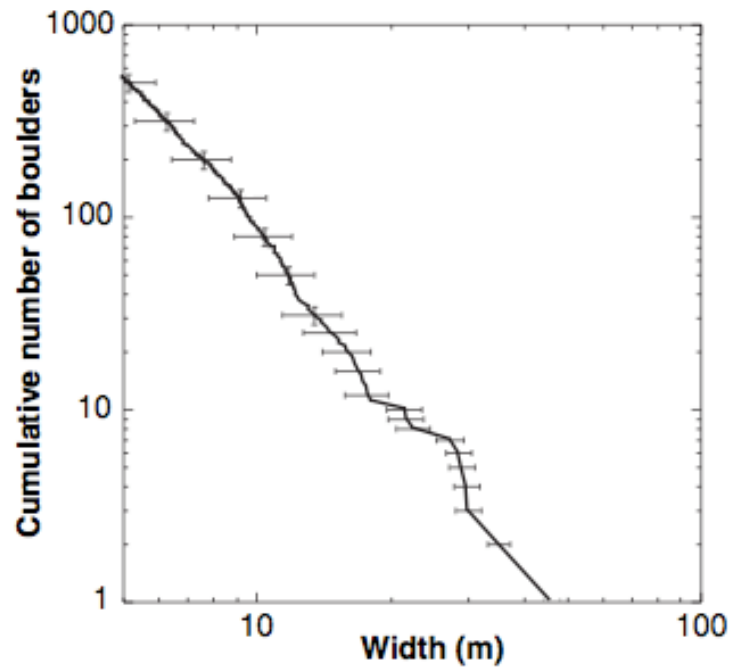
1-50 m

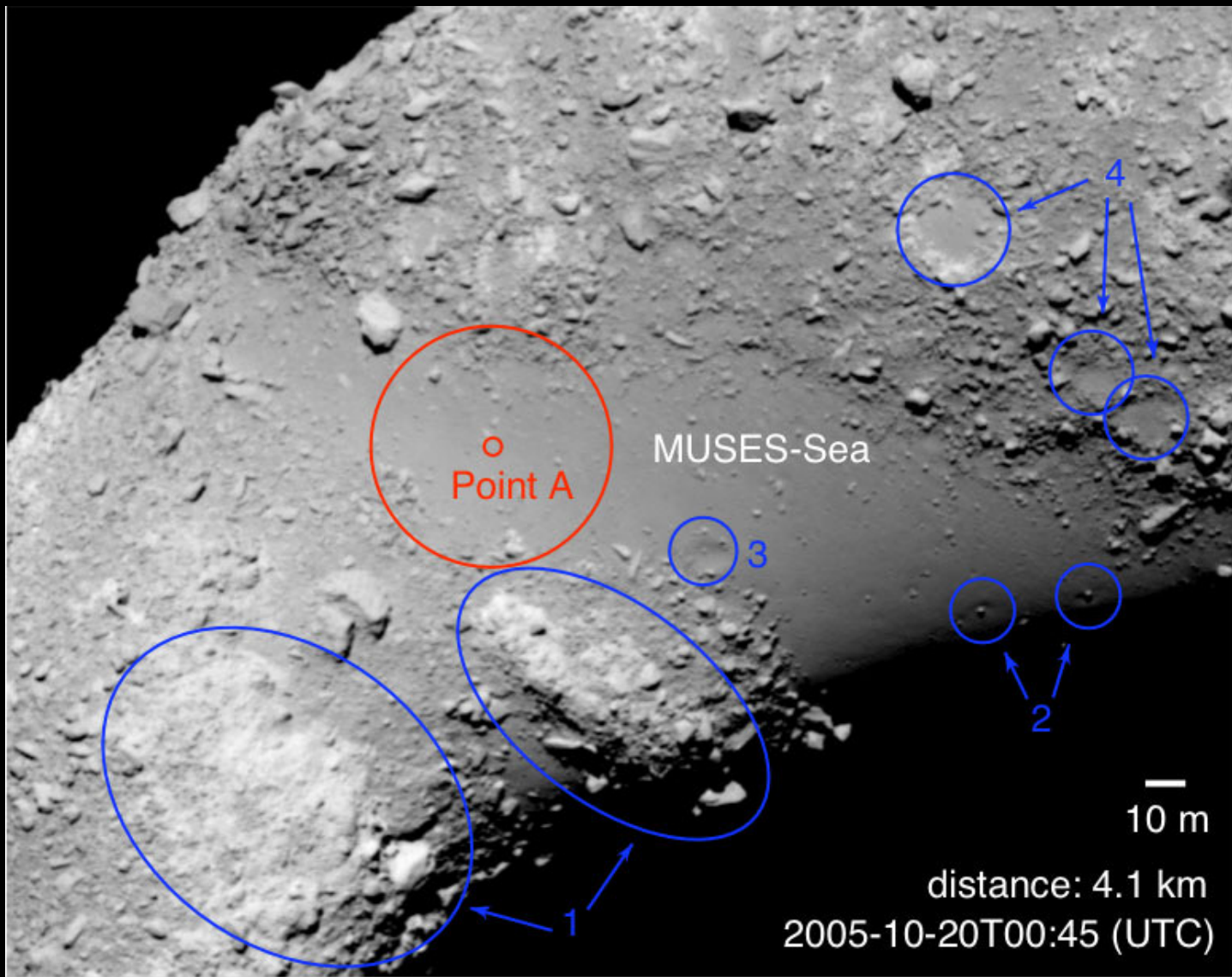
Black Boulder



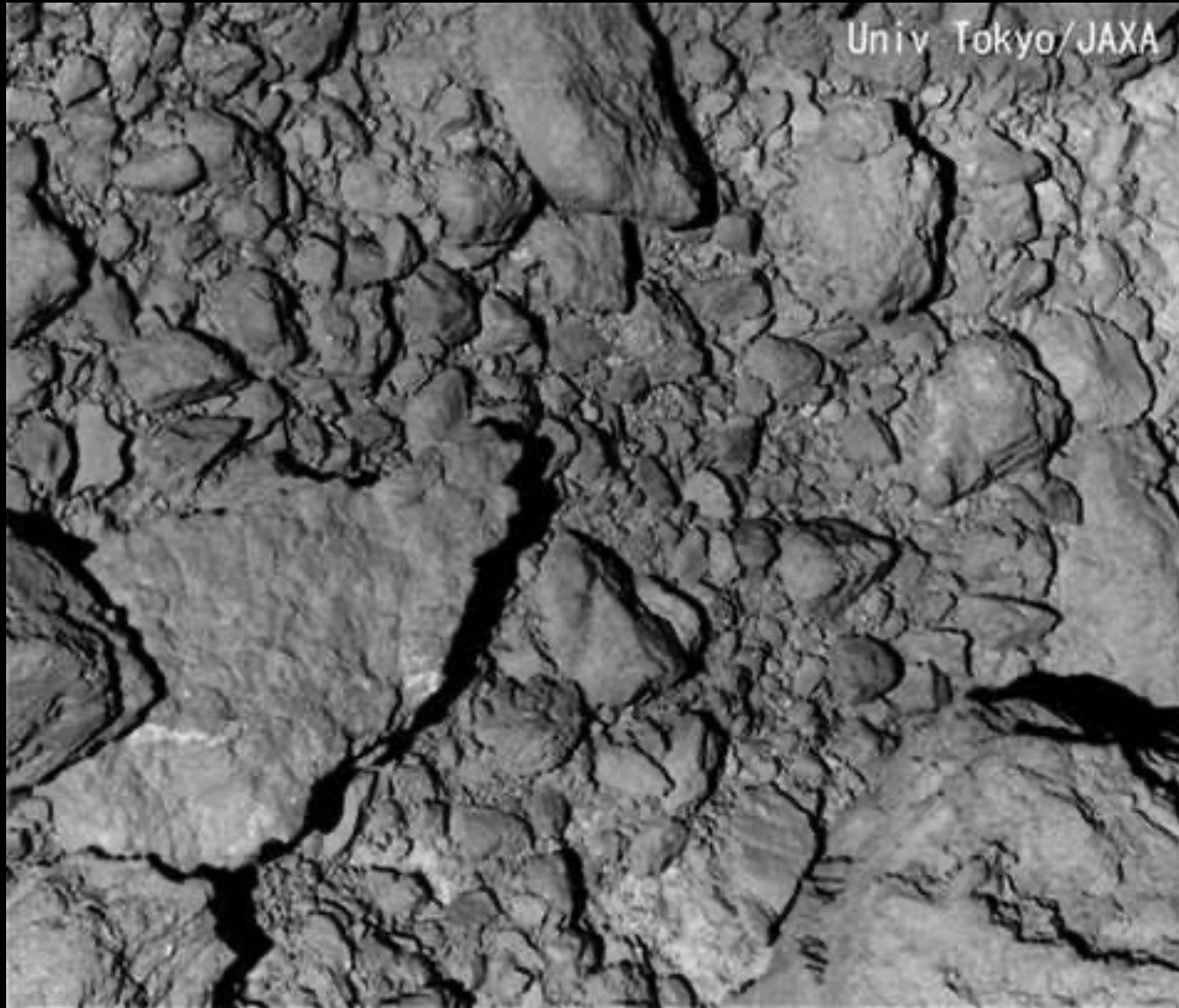
**A****B**

100m

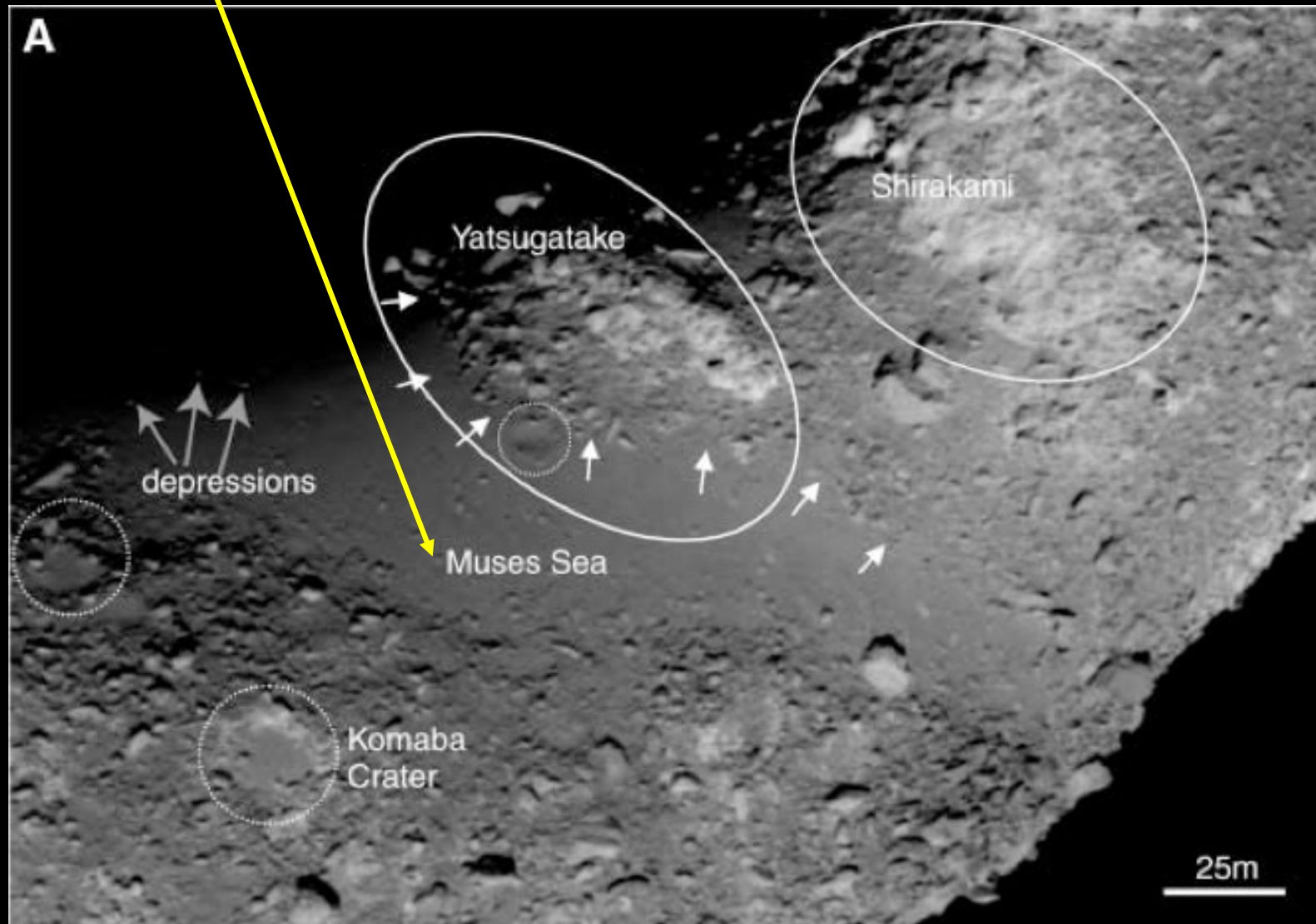




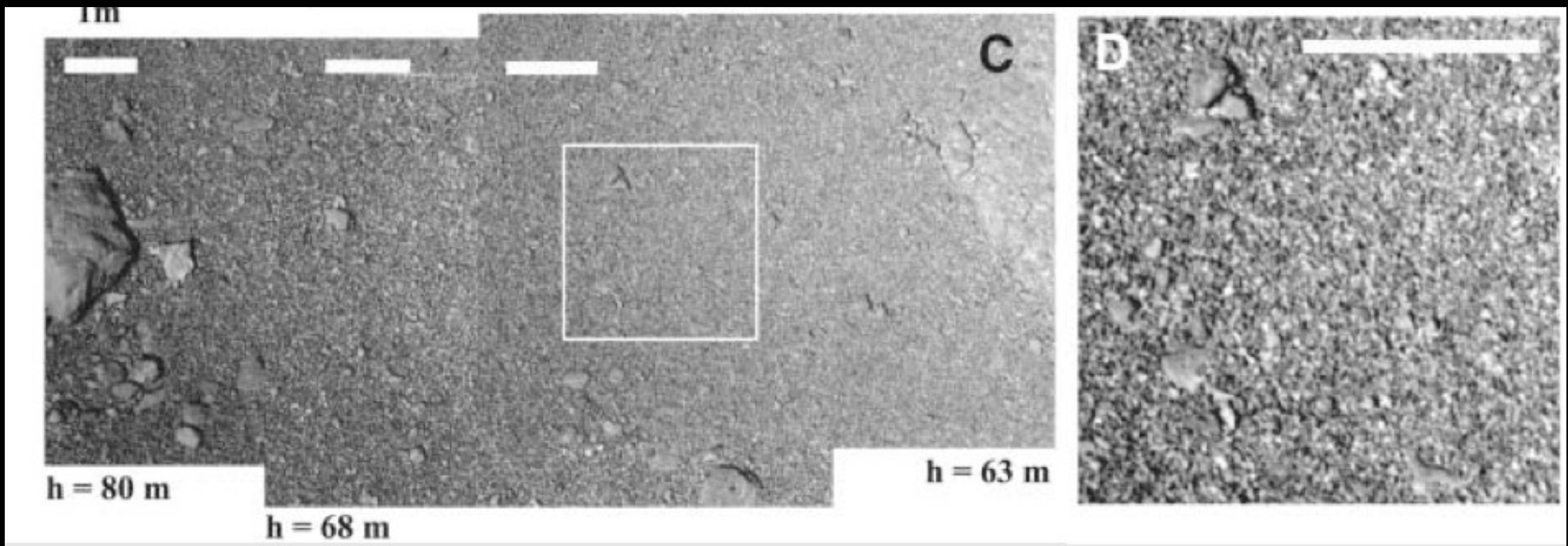
Univ. Tokyo/JAXA



Zone de faible gravité

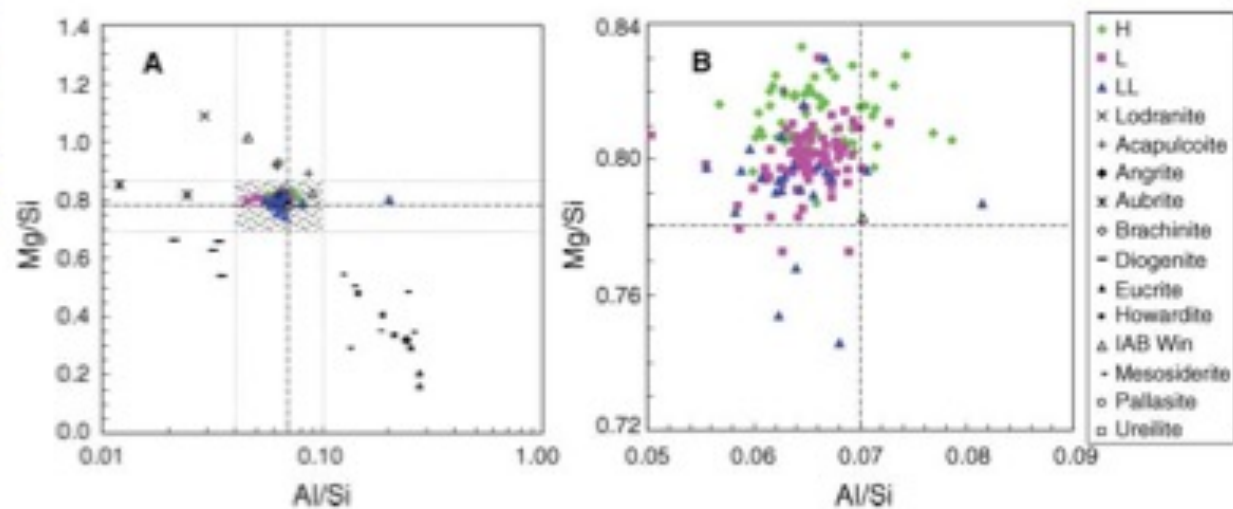


Mécanismes de transport et de déposition

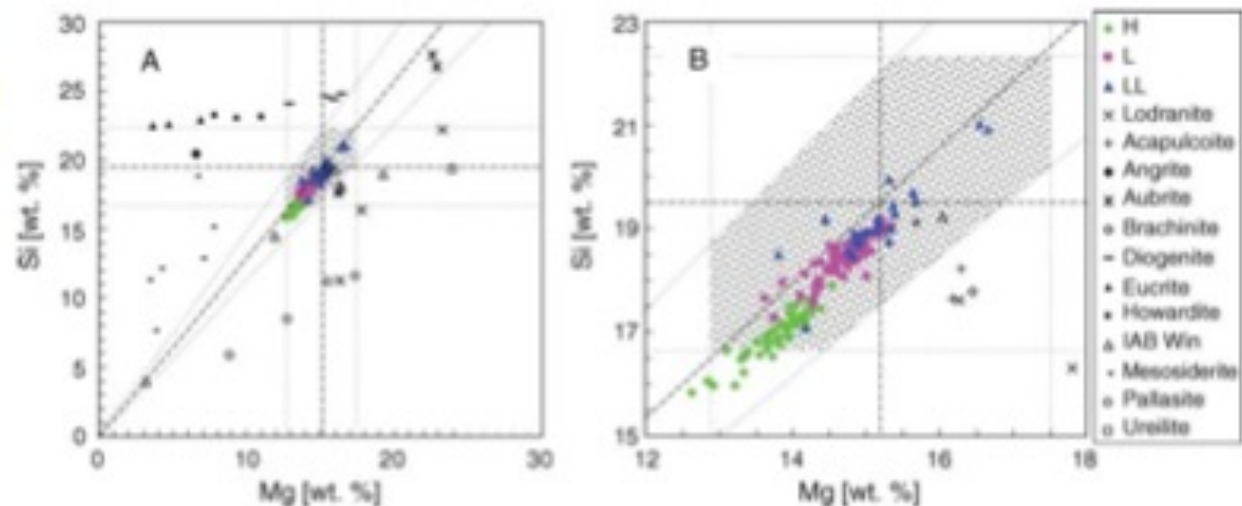


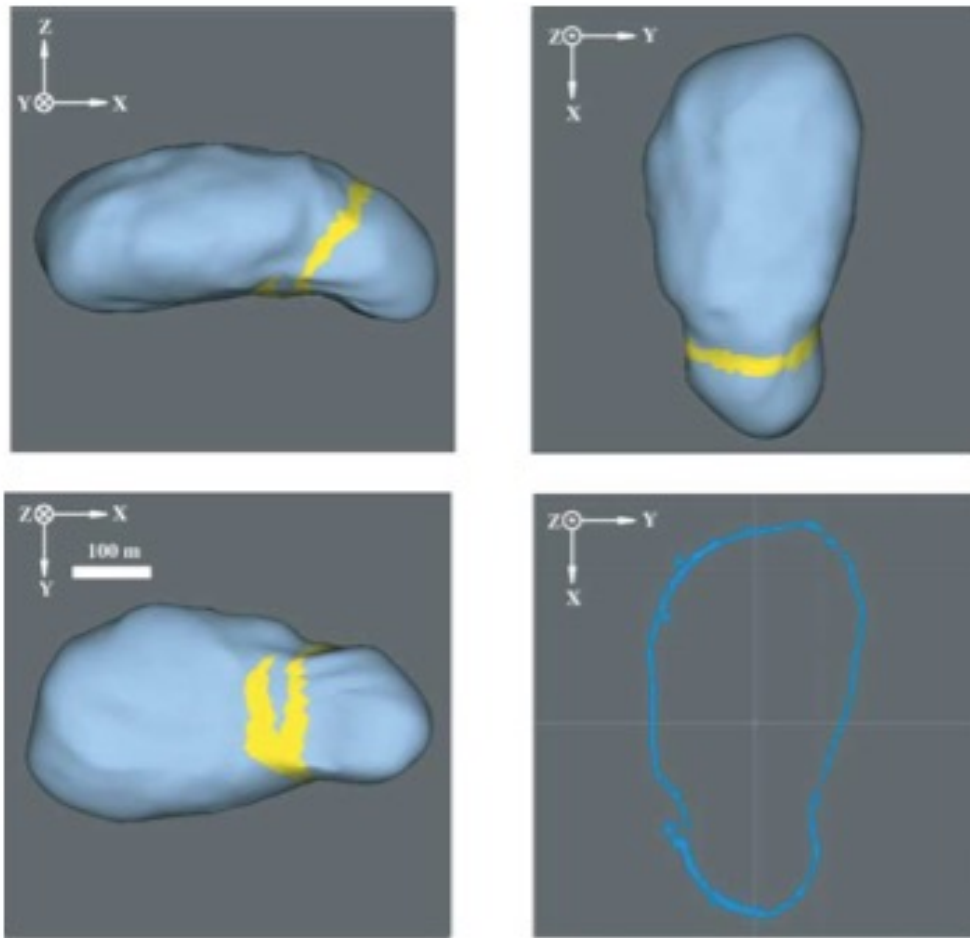


**Fig. 2.** (A) Elemental ratios of Itokawa (shaded area) plotted as Mg/Si versus Al/Si, together with typical compositions of stony and stony iron meteorites. (B) Enlargement of shaded area in (A). The dashed and dotted lines in (A) denote the best-fit values and their  $2\sigma$  uncertainties, respectively.

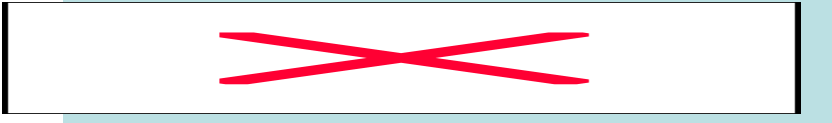


**Fig. 3.** (A) Elemental composition of Itokawa (Si/Mg) plotted as in Fig. 2. (B) Enlargement of the shaded area in (A). Ordinary chondrites, acapulcoites, and IAB winonaites appear closest in composition, and Itokawa appears to be more like an LL- or L-chondrite in composition than an H-chondrite.





**Fig. 1.** Three views of Itokawa's shape model and a detailed cross section along the equator. The z direction is north of Itokawa, and the x direction is the prime meridian. The most substantial structure is two pieces (head and body) separated by a circular concave structure (neck). To help guide the eye, a headward slope of the neck is colored in yellow; this region is defined by surface texture of deposits and mass movements derived from the head. A quasi-eyeballed feature of southern polar region shows a local hill (named Yatsugatake in Fig. 3) surrounded by the deposits, but the hill might be an emplacement.



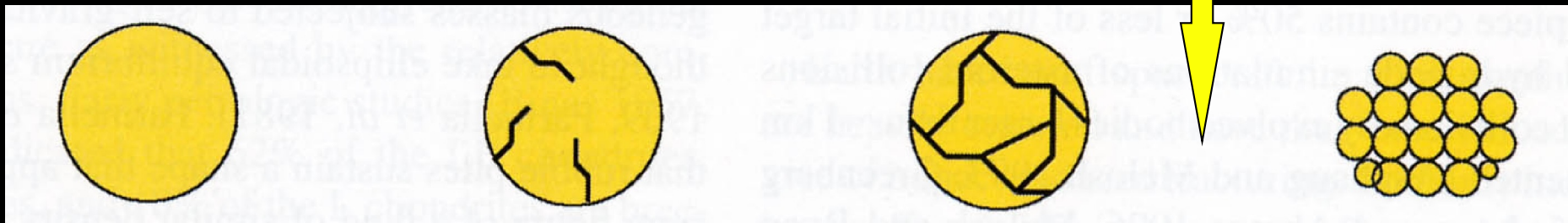
Porosité ~ 40 %

# Un objet plein de vides !!!

$$D_{\text{Eros}} = 2.67 \text{ g.cm}^{-3}$$

$$D_{\text{CO}} = 3.4 \text{ g.cm}^{-3}$$

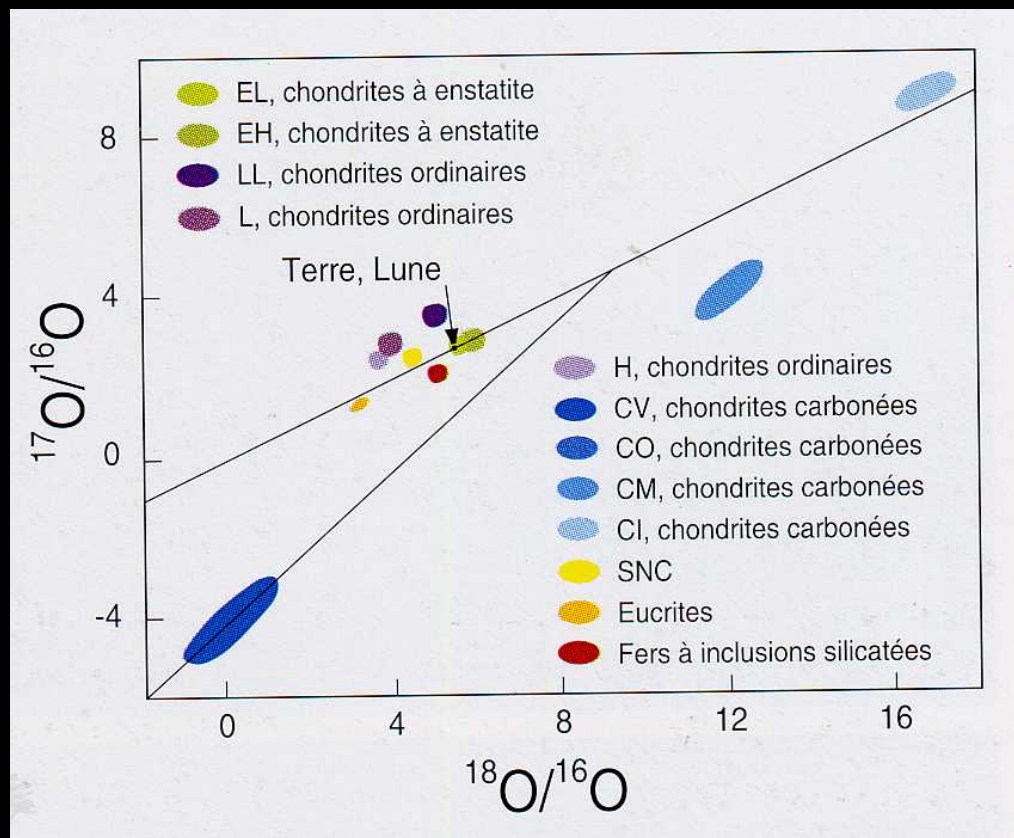
Porosité ~ 30 % !



# Origine des astéroïdes ?

FORMATION PAR ACCRETION

NE SONT PAS LES VESTIGES D'UNE ANCIENNE PLANETE

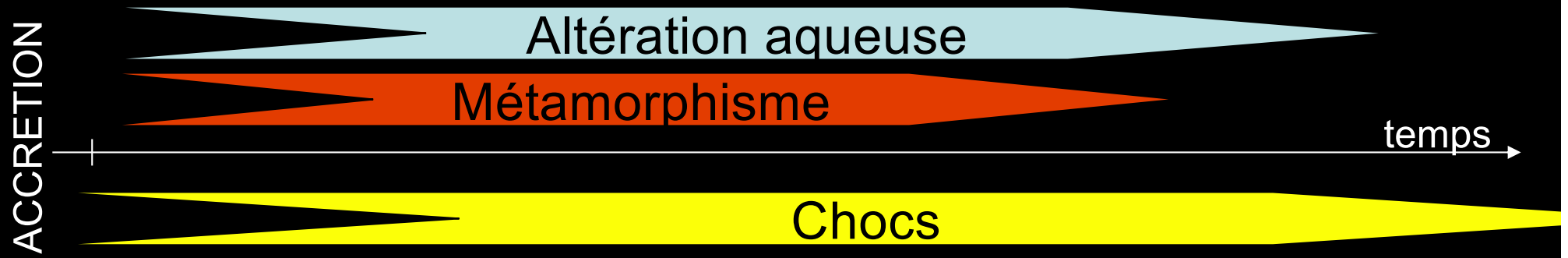


Isotopes de l'oxygène



Empreintes digitales

# Histoire géologique ?

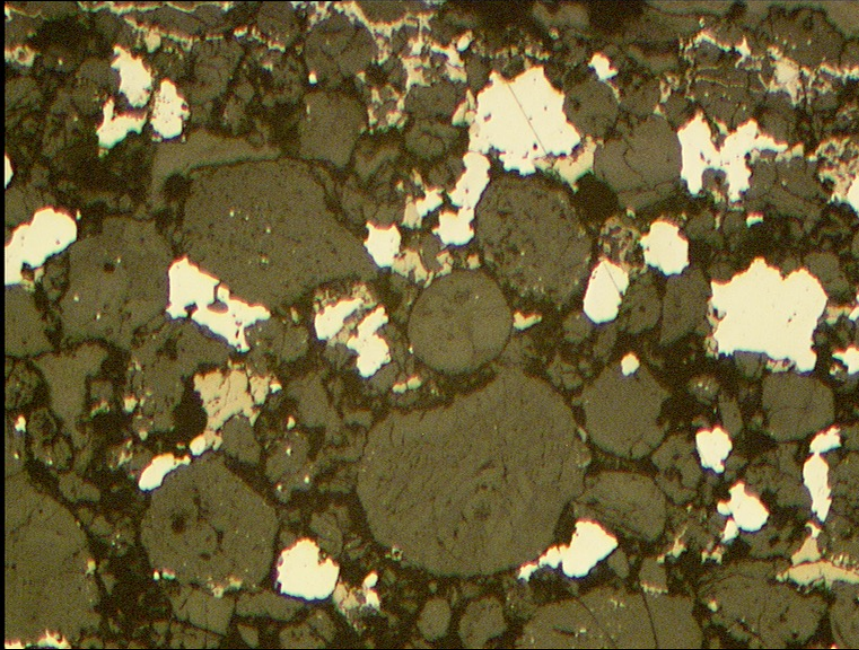


Magnétite framboïdale

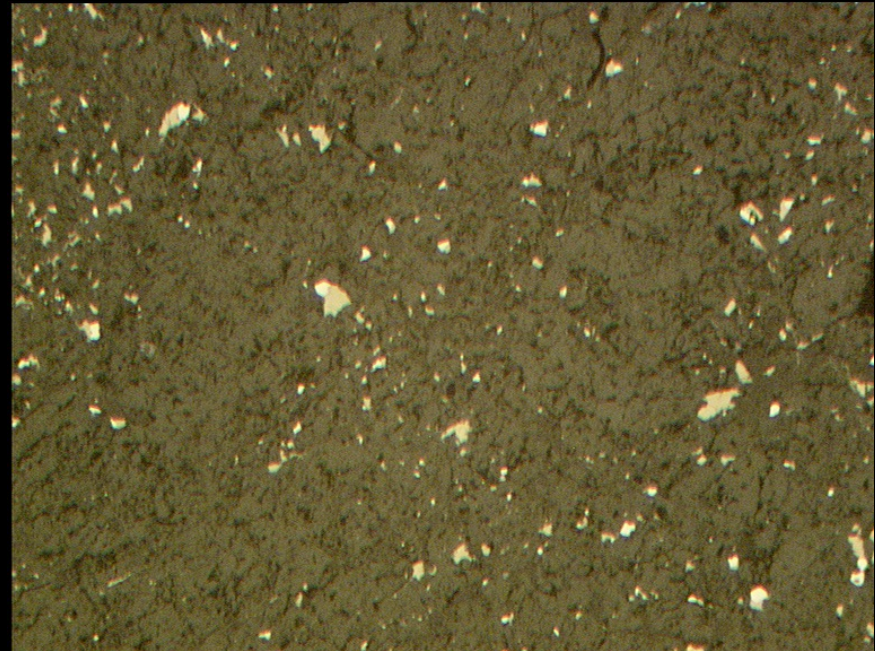
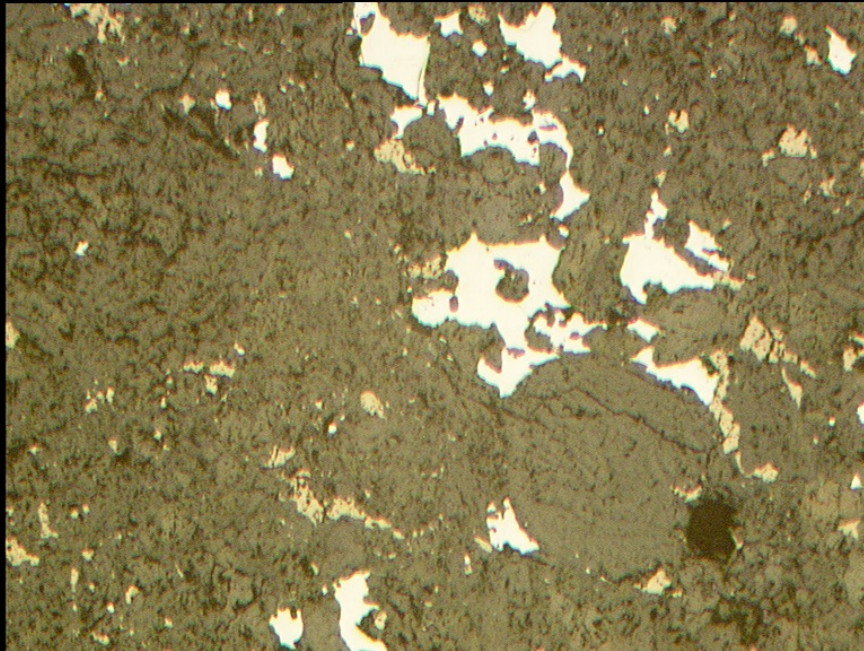


Argiles





Effet du métamorphisme



# ***RÉSULTAT D'INVENTAIRE***

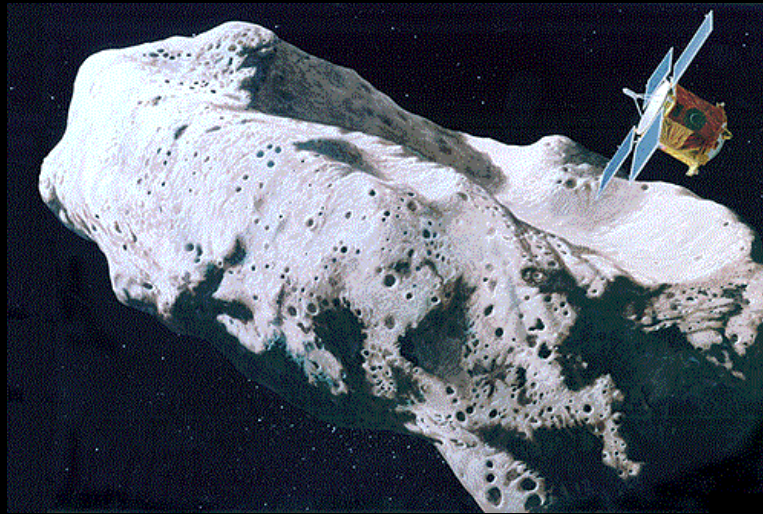
---

## ***CE QUE NOUS APPRENNENT LES MÉTÉORITES SUR LES ASTÉROÏDES***

- ☐ 4.5 milliards d'années
- ☐ Histoire géologique brève
- ☐ Les chocs transforment la surface
- ☐ Ne sont pas les fragments d'une ancienne planète
- ☐ Composition et processus dans la nébuleuse

*Mais aussi...*

- ☐ Des laves martiennes...
- ☐ Des morceaux de Lune
- ☐ L'âge de la Terre et du Système Solaire



Filiation ?...





# Partie III

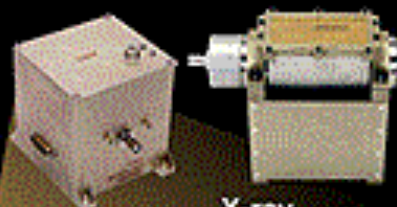
Retour sur 433 Eros avec  
NEAR



# NEAR SCIENCE PAYLOAD



Magnetometer



X-ray  
Solar Monitor Sensors



Near-Infrared  
Spectrometer



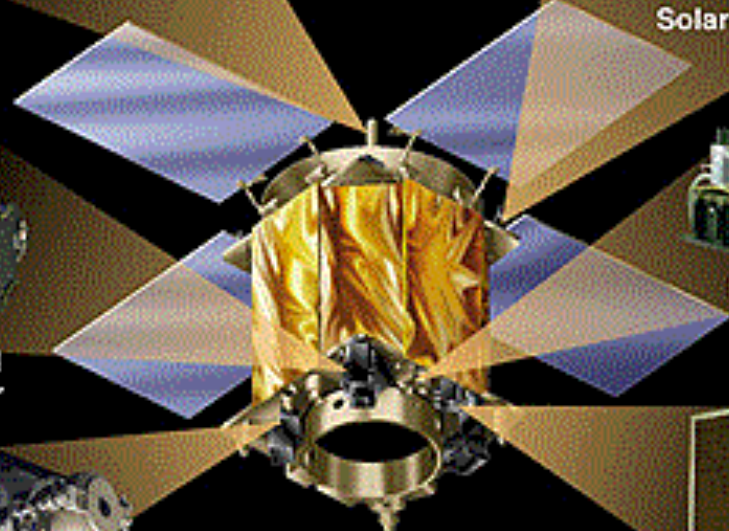
Laser Altimeter



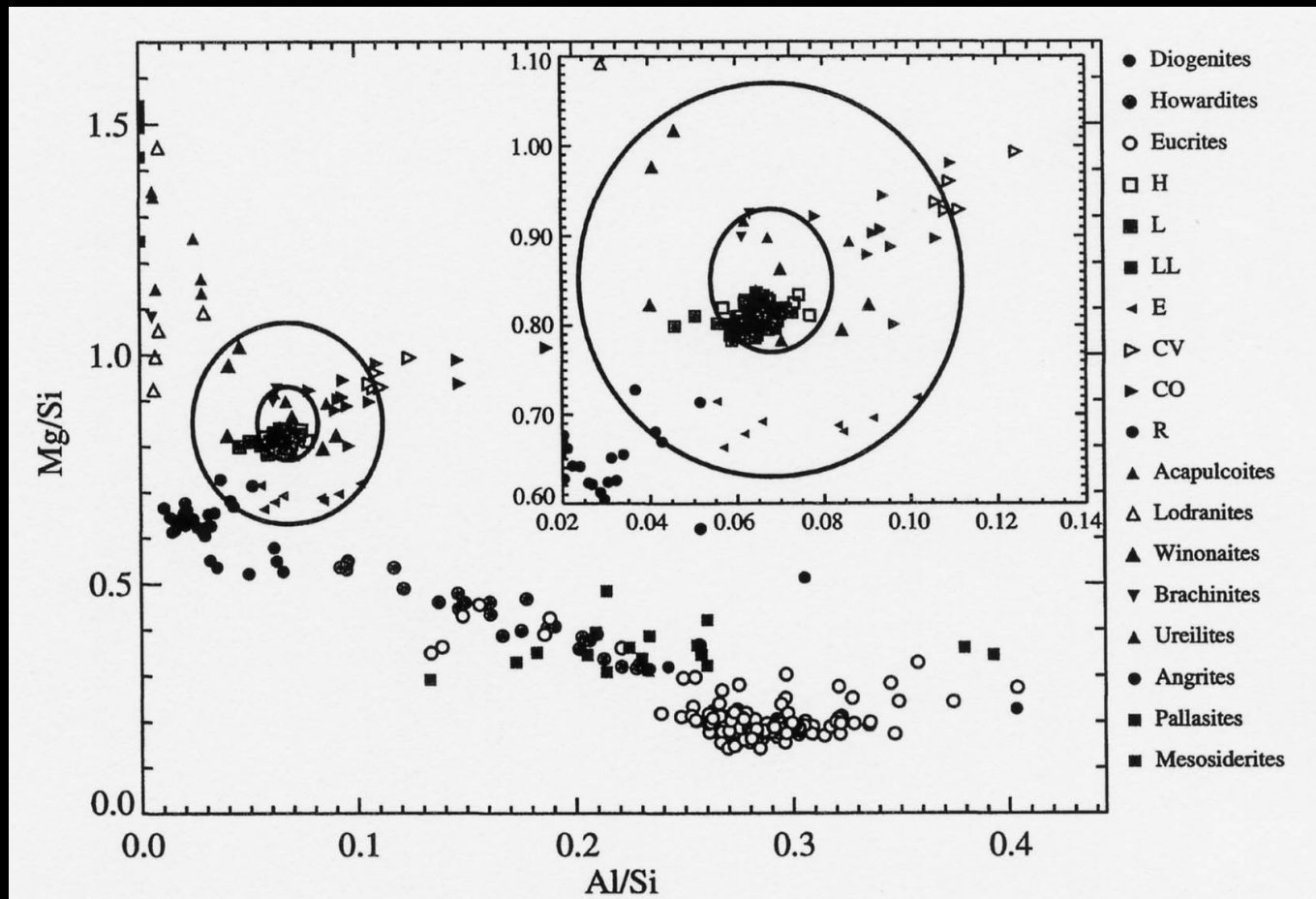
Multispectral  
Imager



X-ray/Gamma-ray Spectrometer

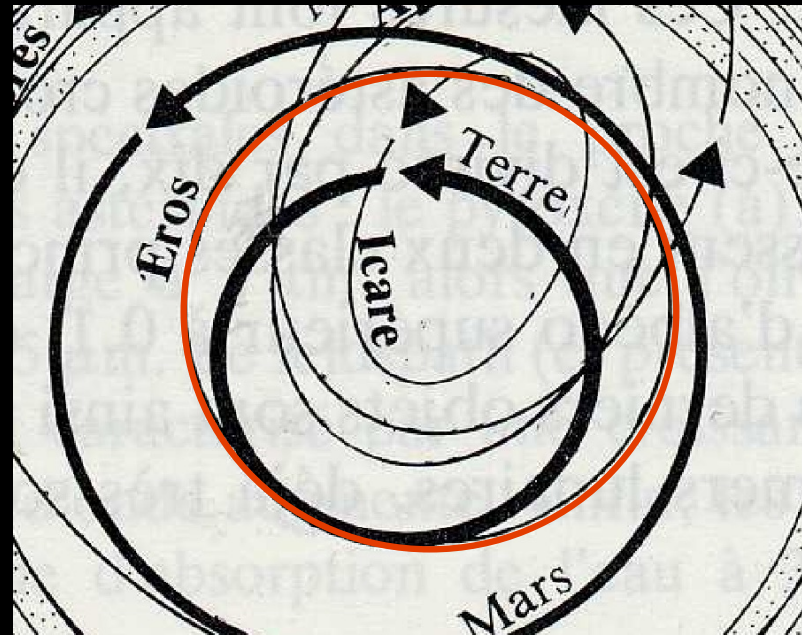


# XRGS: composition surface = chondrites ordinaires

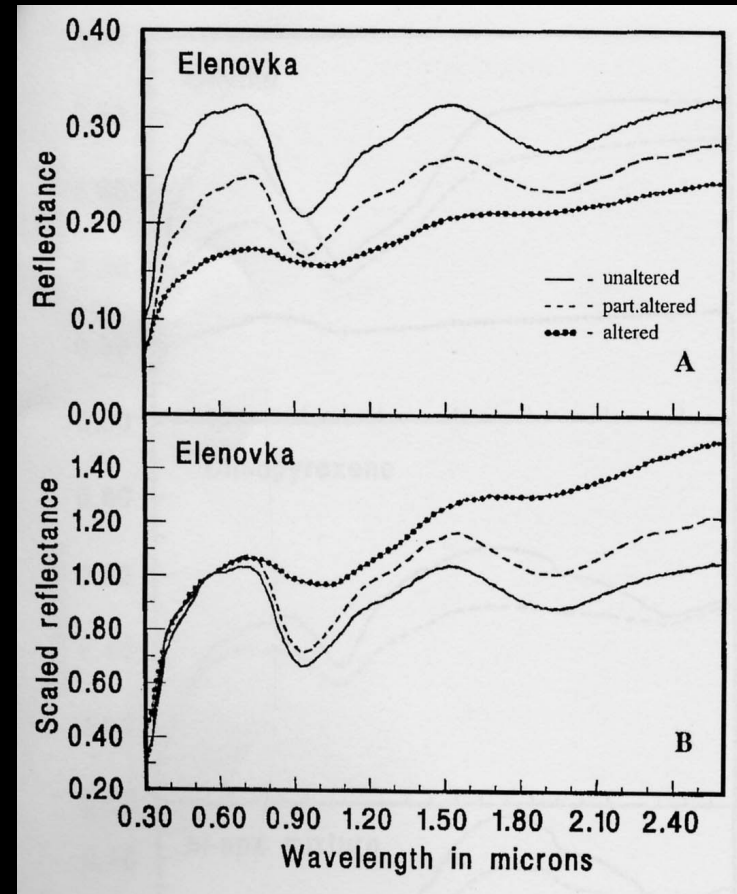
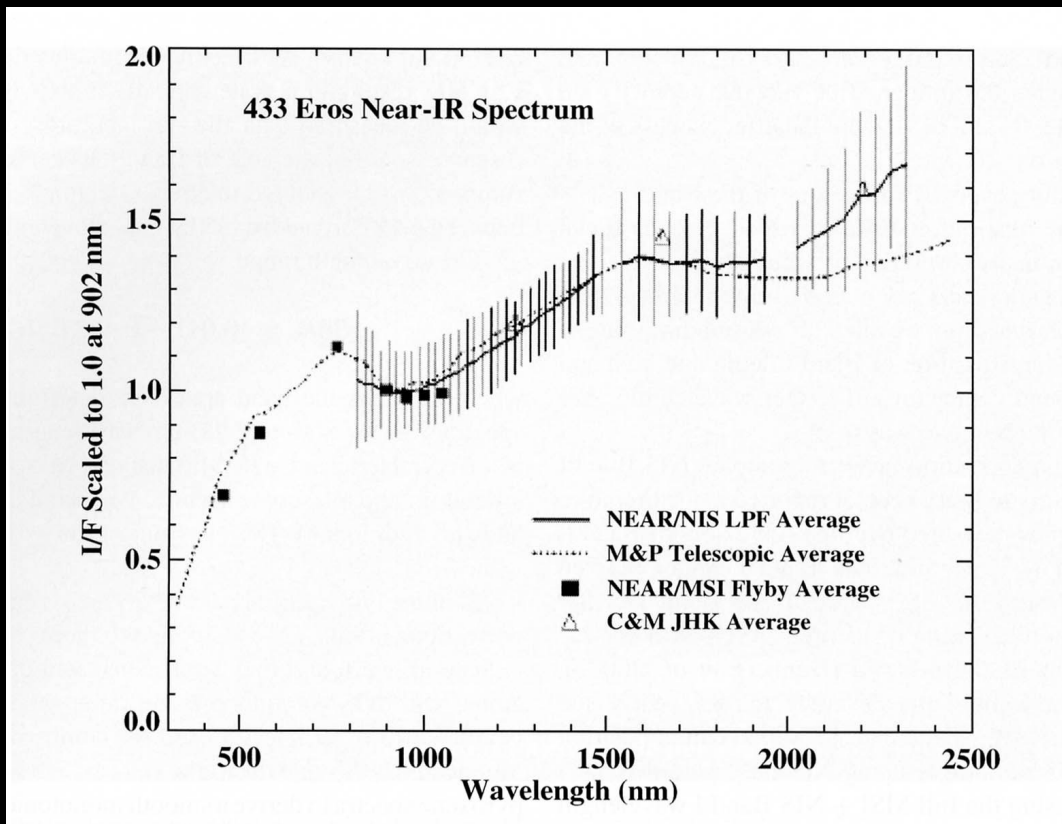


chondrites ordinaires = 80 % des chutes

Eros = géocroiseur qui tangente l'orbite terrestre... !



# Cohérence avec les mesures infrarouges



# Partie IV

Perspectives présentes et  
futures

# HAYABUSA - Mission japonaise en cours

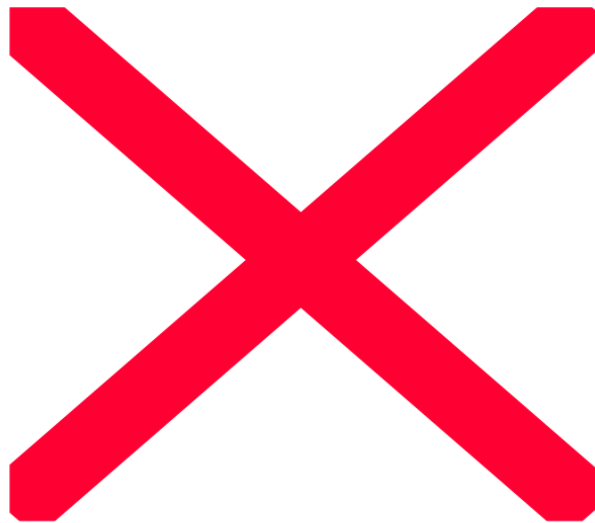
Astéroïde Itokawa



# Tomographie Radar (LPG-JPL)

Technologie dérivée de l'instrument CONSERT (ROSETTA)

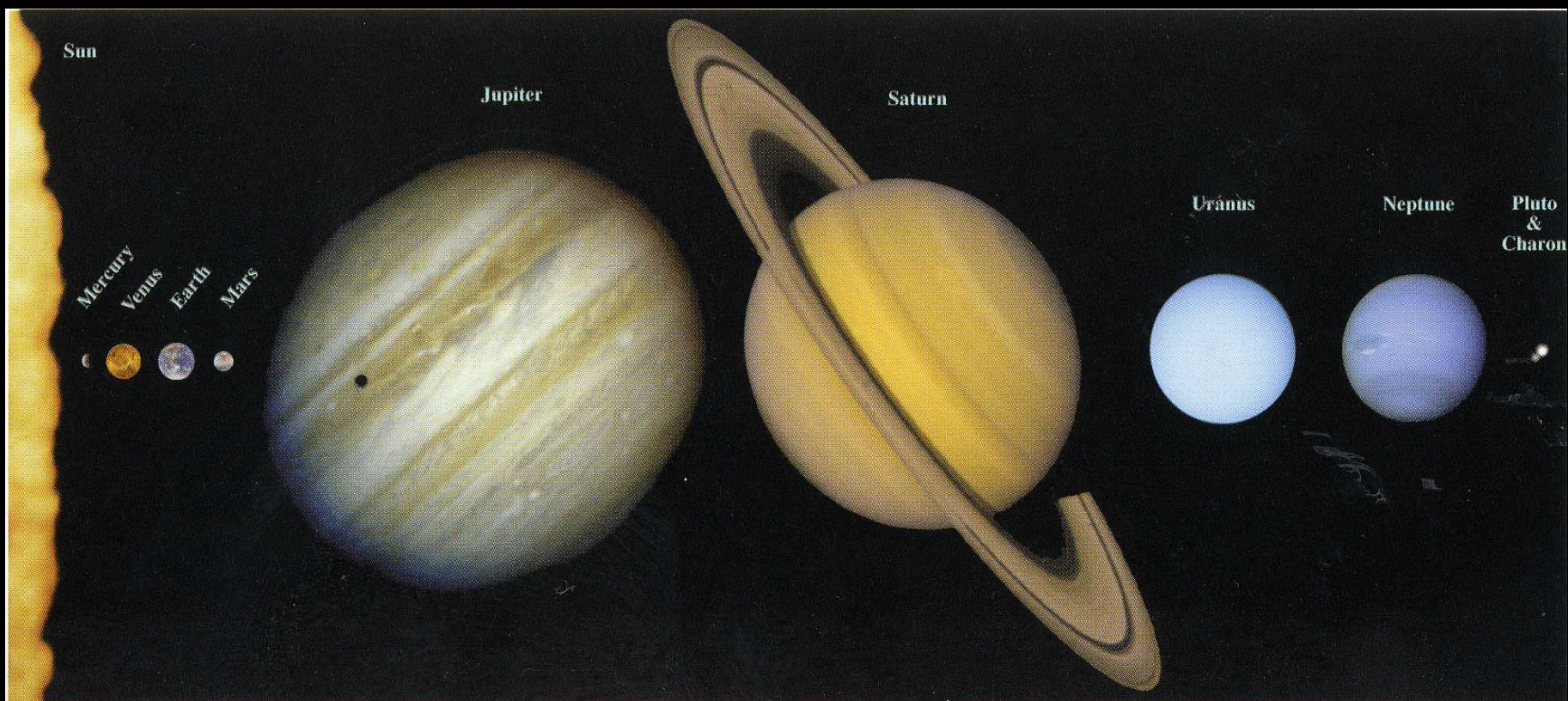
Maîtrise d'œuvre W. Kofman - LPG-UJF





# Partie I

## Les Astéroïdes, petites planètes inabouties



Sun

Mercury

Venus

Earth

Mars

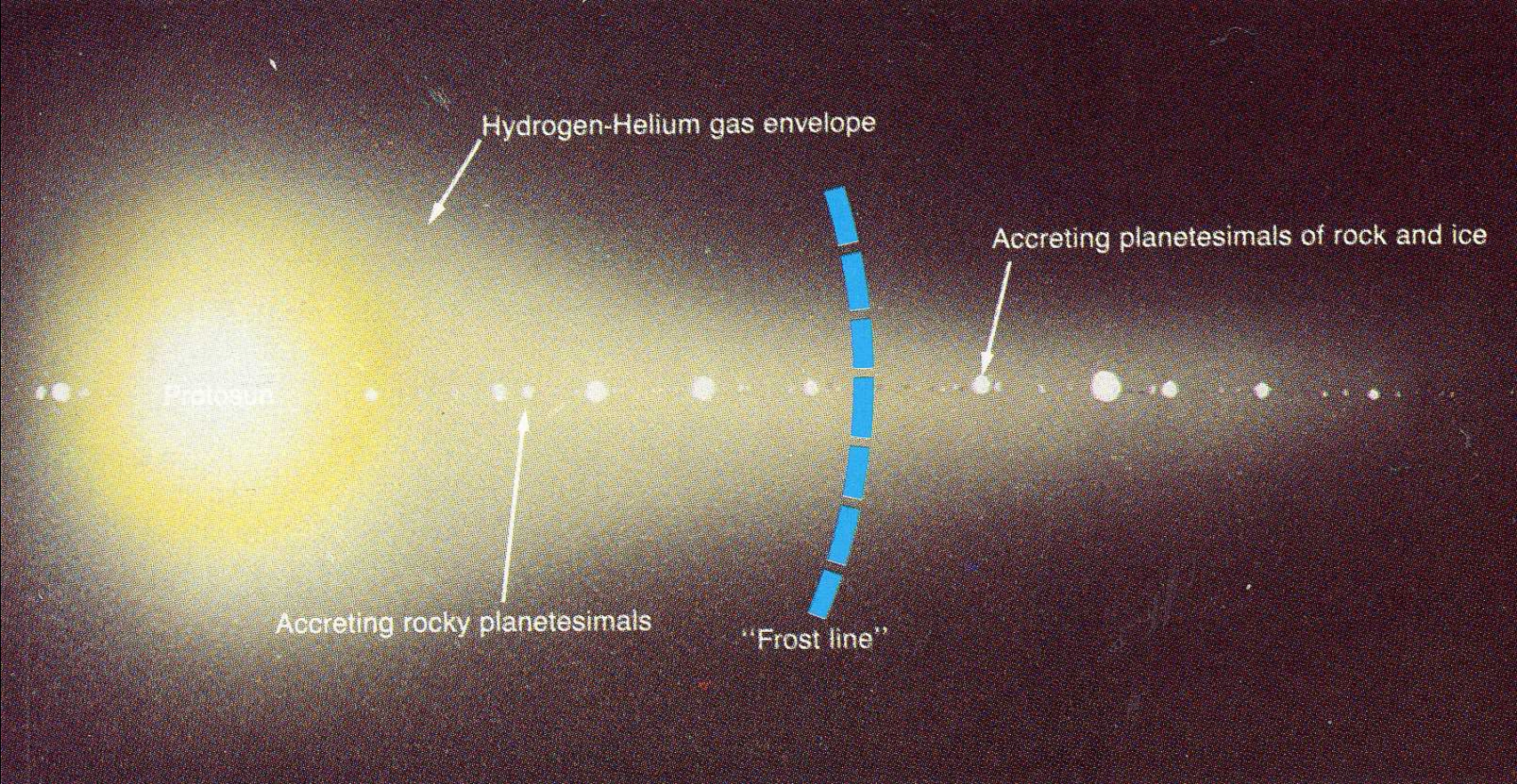
Jupiter

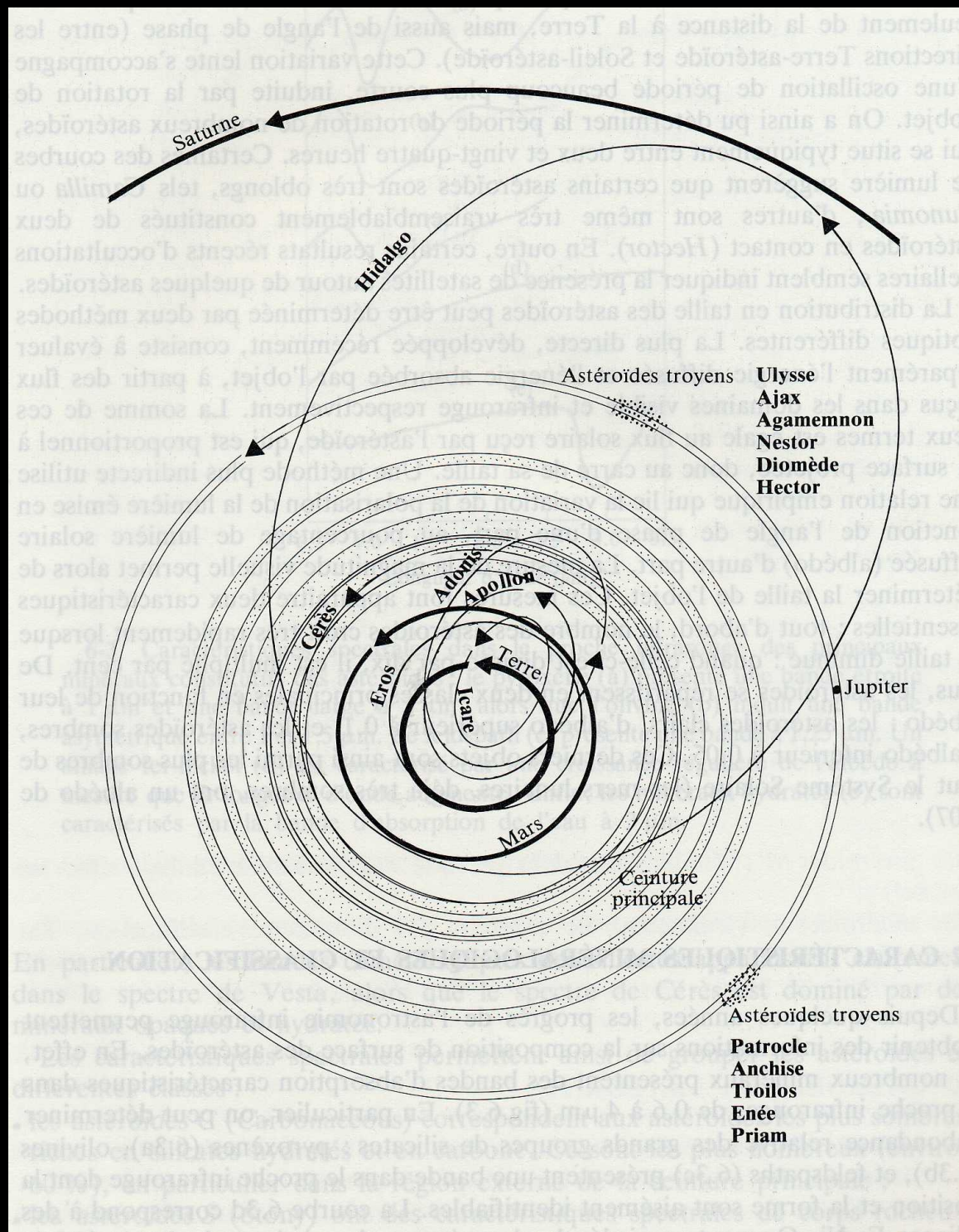
Saturn

Uranus

Neptune

Pluto  
&  
Charon





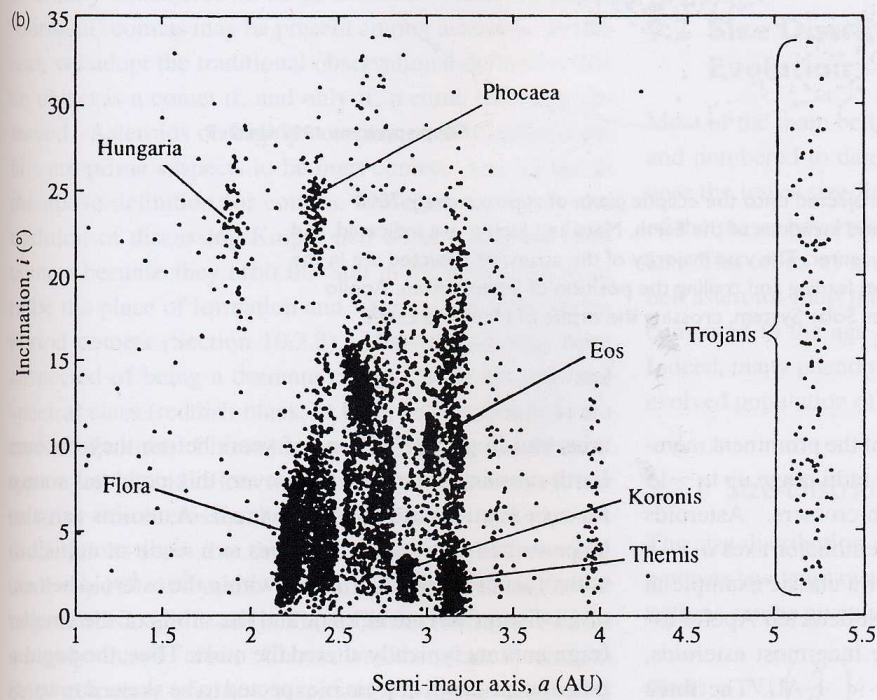
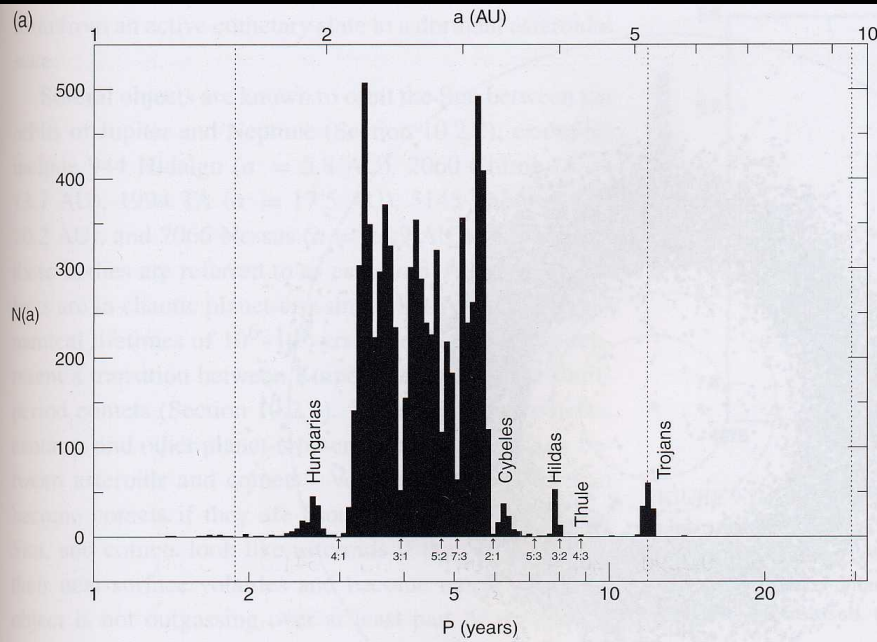


TABLE 9.1 Twenty Largest Asteroids ( $a < 6$  AU).

#	Name	Diam. (km)	Tax. Class	$a$ (AU)	$e$	$i$ (deg)	$\Omega$ (deg)	$\omega$ (deg)	$M$ (deg)	Period (yr)	Rotation (hr)
1	Ceres	933	G?	2.769	0.0780	10.61	80.0	71.2	287.3	4.607	9.075
2	Pallas	525		2.770	0.2347	34.81	172.6	309.8	273.8	4.611	7.811
4	Vesta	510	V	2.361	0.0906	7.14	103.4	150.1	43.3	3.629	5.342
10	Hygiea	429	C	3.138	0.1201	3.84	283.0	316.1	33.0	5.656	27.659
511	Davidia	337	C	3.174	0.1784	15.94	107.3	339.0	244.5	5.656	5.130
704	Interamnia	333	F	3.064	0.1475	17.30	280.4	92.2	276.8	5.364	8.727
52	Europa	312	C	3.101	0.1002	7.44	128.6	337.0	92.6	5.460	5.631
15	Eunomia	272	S	2.644	0.1849	11.76	292.9	97.5	327.9	4.299	6.083
87	Sylvia	271	PC	3.490	0.0820	10.87	73.1	273.3	248.8	6.519	5.183
3	Juno	267	S	2.668	0.0258	13.00	169.9	246.7	115.4	4.359	7.210
16	Psyche	264	M	2.923	0.1335	3.09	149.9	227.5	318.7	4.999	4.196
31	Euphrosyne	248	C	3.146	0.2290	26.34	30.7	63.1	341.0	5.581	5.531
65	Cybele	240	C	3.437	0.1044	3.55	155.4	109.8	20.1	6.372	4.041
107	Camilla	237	C	3.484	0.0842	9.93	173.5	296.0	139.7	6.503	4.840
624	Hektor	233	D	5.181	0.0246	18.23	342.1	178.0	2.9	11.794	6.921
88	Thisbe	232	C	2.767	0.1638	5.22	276.3	35.3	259.0	4.603	6.042
451	Patientia	230	C	3.062	0.0709	15.24	89.0	343.2	269.4	5.358	9.727
324	Bamberga	228	C	2.681	0.3409	11.14	327.8	43.4	189.6	4.390	29.43
48	Doris	225	C	3.110	0.0693	6.54	183.4	262.8	278.8	5.485	11.89
532	Herculina	225	S	2.771	0.1764	16.36	107.4	75.1	199.4	4.613	9.405

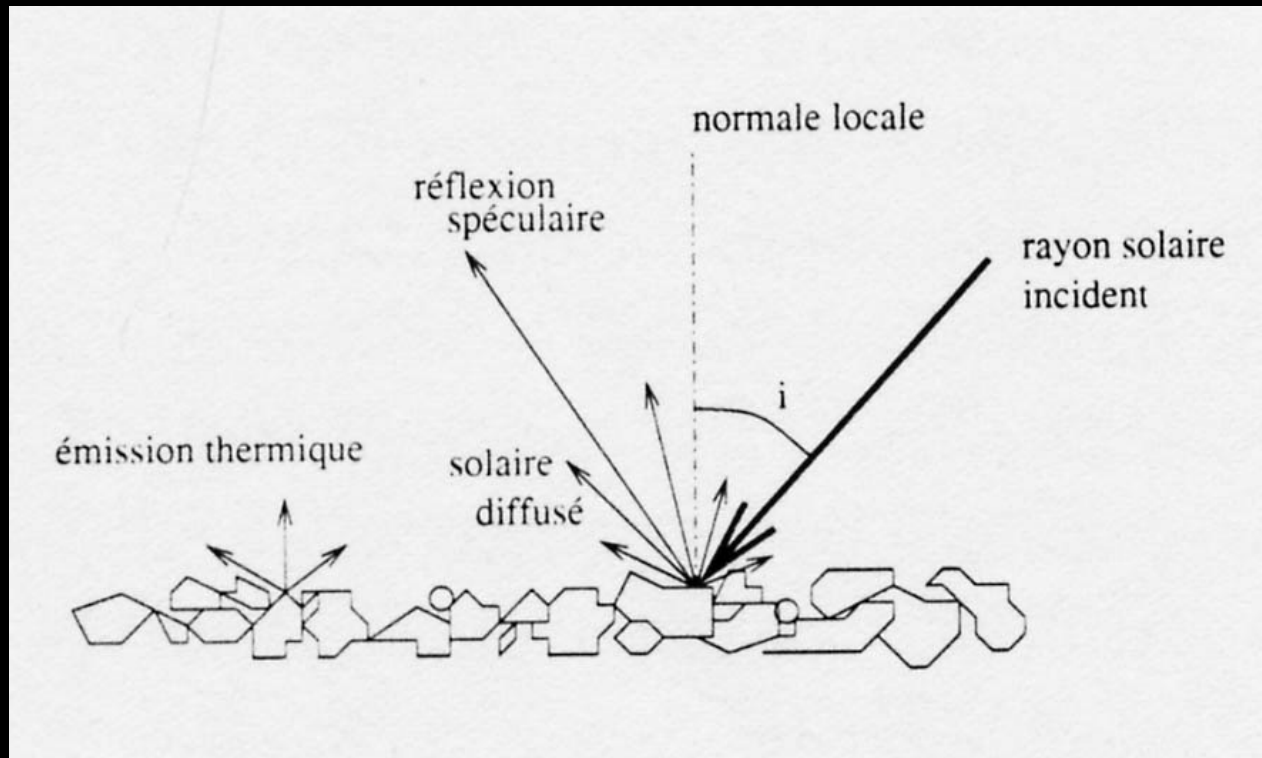
All data are from Yoder (1995).

TABLE 9.3 Sizes and Densities of Asteroids and Martian Moons.

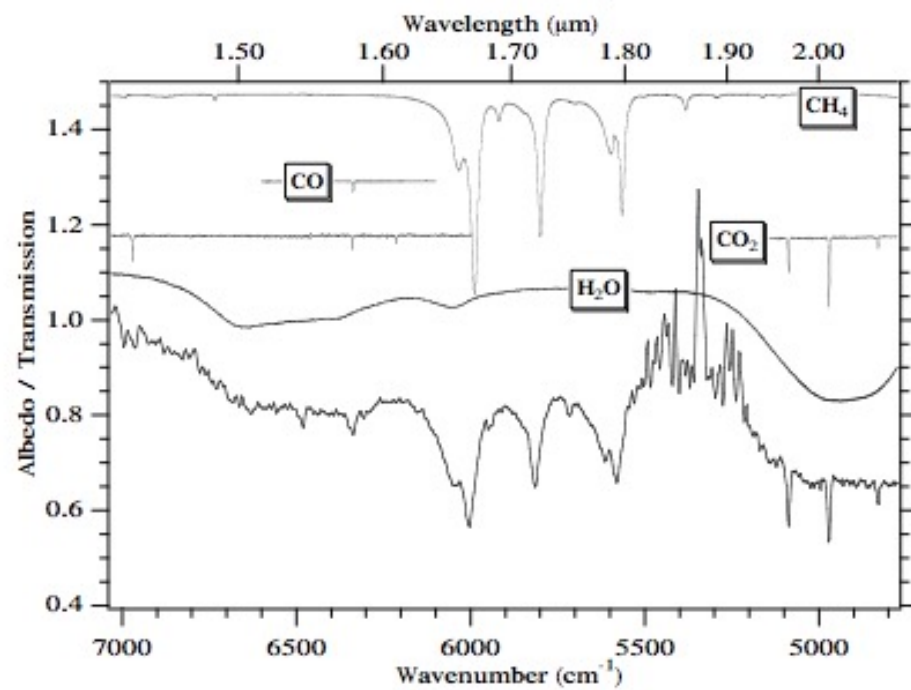
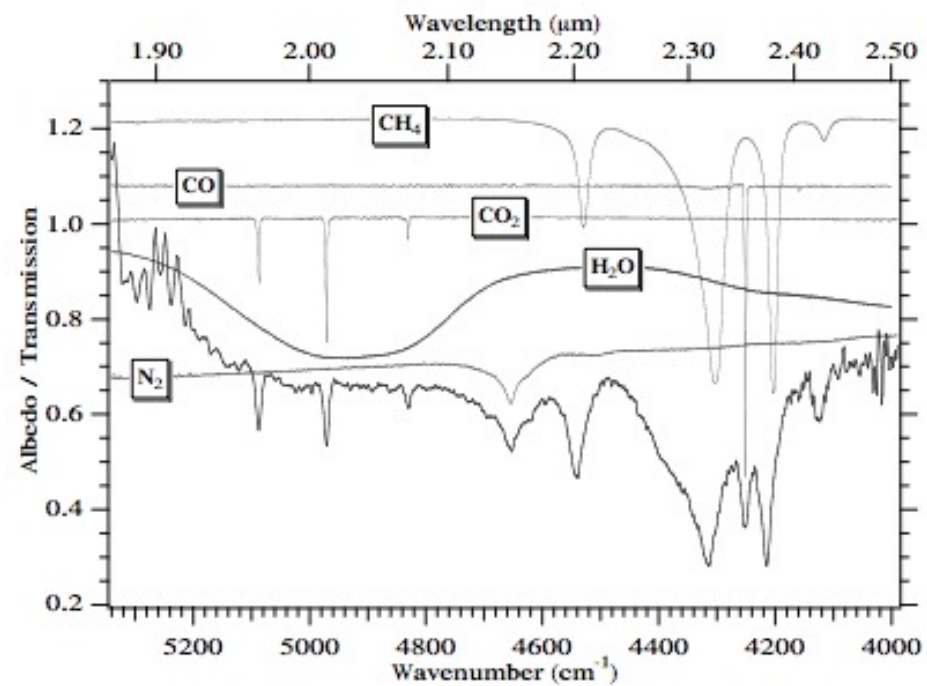
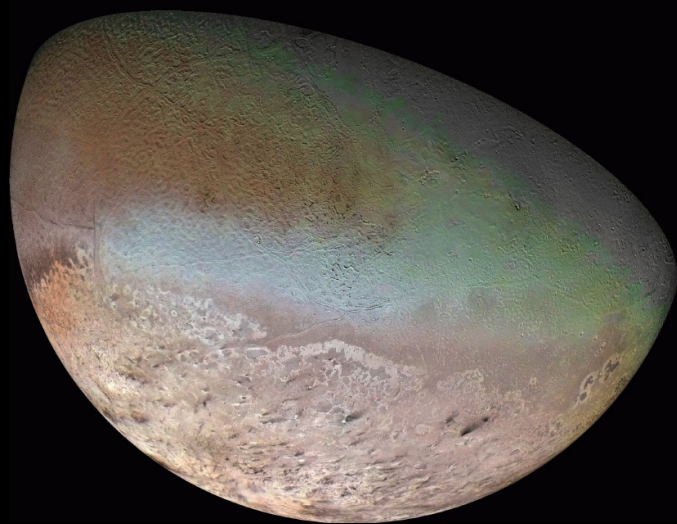
Body	Class	$R$ (km)	$\rho$ (g cm <sup>-3</sup> )	Ref.
1 Ceres	G	457	$2.7 \pm 0.14$	1
2 Pallas	M	262	$2.6 \pm 0.5$	1
4 Vesta	V	251	$3.62 \pm 0.35$	2
10 Hygiea	C	215	$2.05 \pm 1$	3
45 Eugenia	C	215	1.2	4
87 Sylvia	PC	135	$1.6 \pm 0.1$	5
216 Kleopatra	M	$217 \times 94 \times 81$	$>3.5$	6
243 Ida	S	$28 \times 12 \times 7.4$	$2.6 \pm 0.5$	7
253 Mathilde	C	$33 \times 24 \times 23$	$1.3 \pm 0.2$	8
433 Eros	S	$31 \times 13 \times 13$	$2.67 \pm 0.03$	9
762 Pulcova	C	140	1.8	10
1996 FG <sub>3</sub>	C	1.4	$1.4 \pm 0.3$	11
2000 DP <sub>107</sub>	C	0.40	$1.6^{+0.7}_{-0.2}$	5
2000 UG <sub>11</sub>	R	0.115		5
Phobos	C	$13.3 \times 11.1 \times 9.3$	$1.9 \pm 0.1$	12
Deimos	C	$7.5 \times 6.1 \times 5.2$	$1.8 \pm 0.2$	12

1: Millis *et al.* (1987). 2: Millis and Elliot (1979). 3: Scholl *et al.* (1987). 4: Merline *et al.* (1999). 5: Margot *et al.* (2000). 6: Ostro *et al.* (2000). 7: Thomas *et al.* (1996). 8: Veverka *et al.* (1997). 9: Yeomans *et al.* (2000). 10: Merline *et al.* (2000). 11: Mottola and Mahulla (2000), and Pravec *et al.* (2000). 12: Thomas (1999).

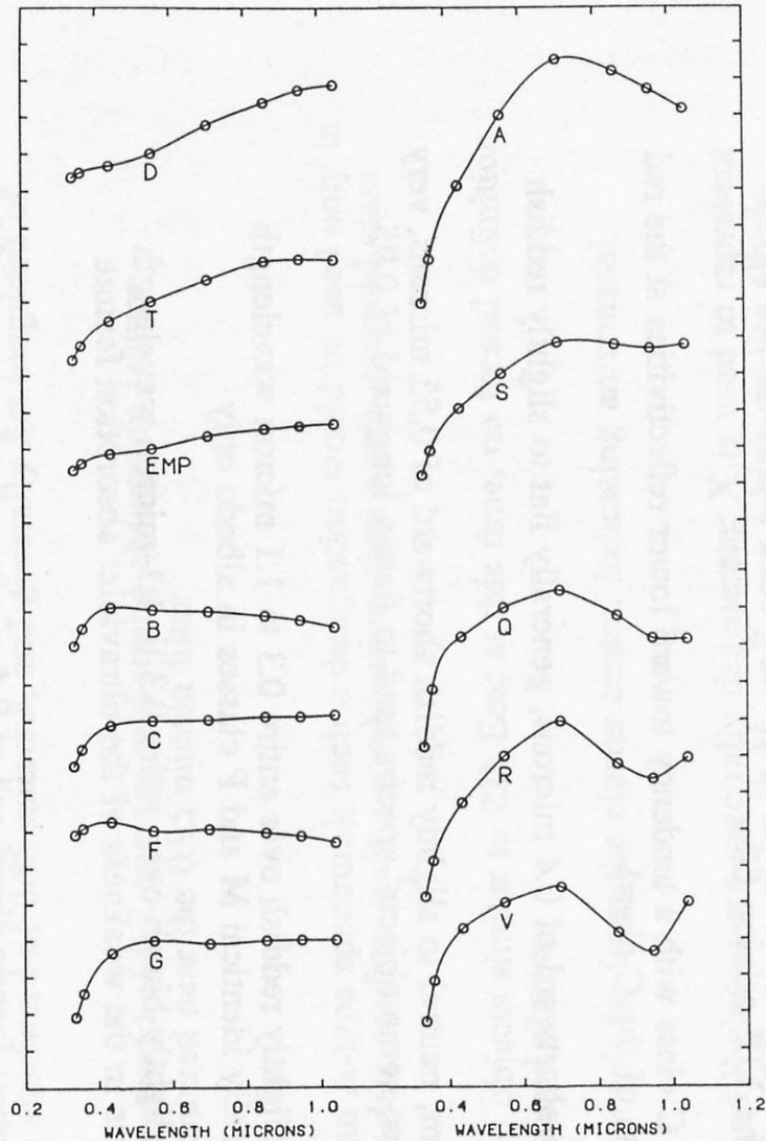
# Téledétection visible et infrarouge







# Classification spectrale

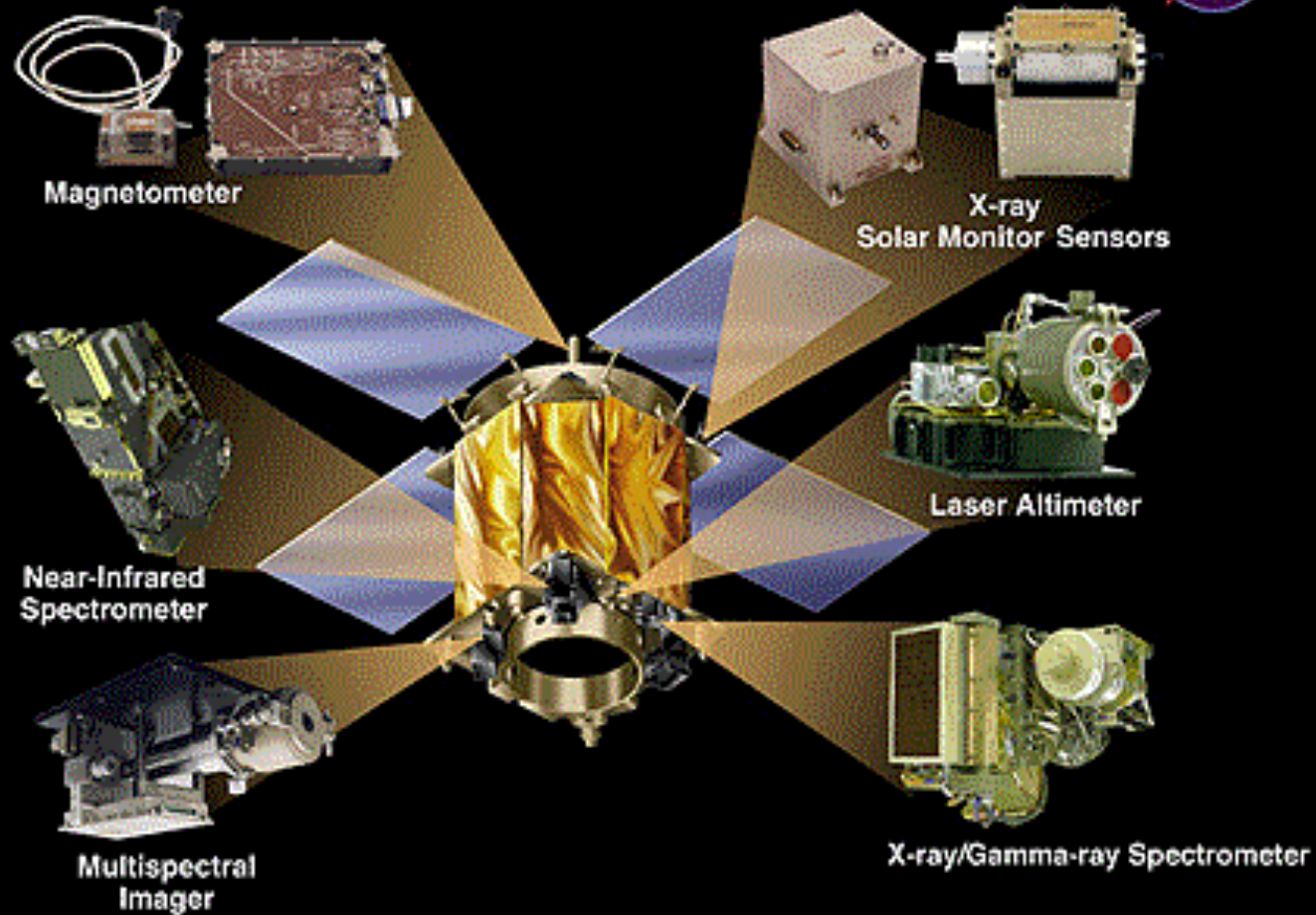


Classification spectrale  
Rare identification minéralogique

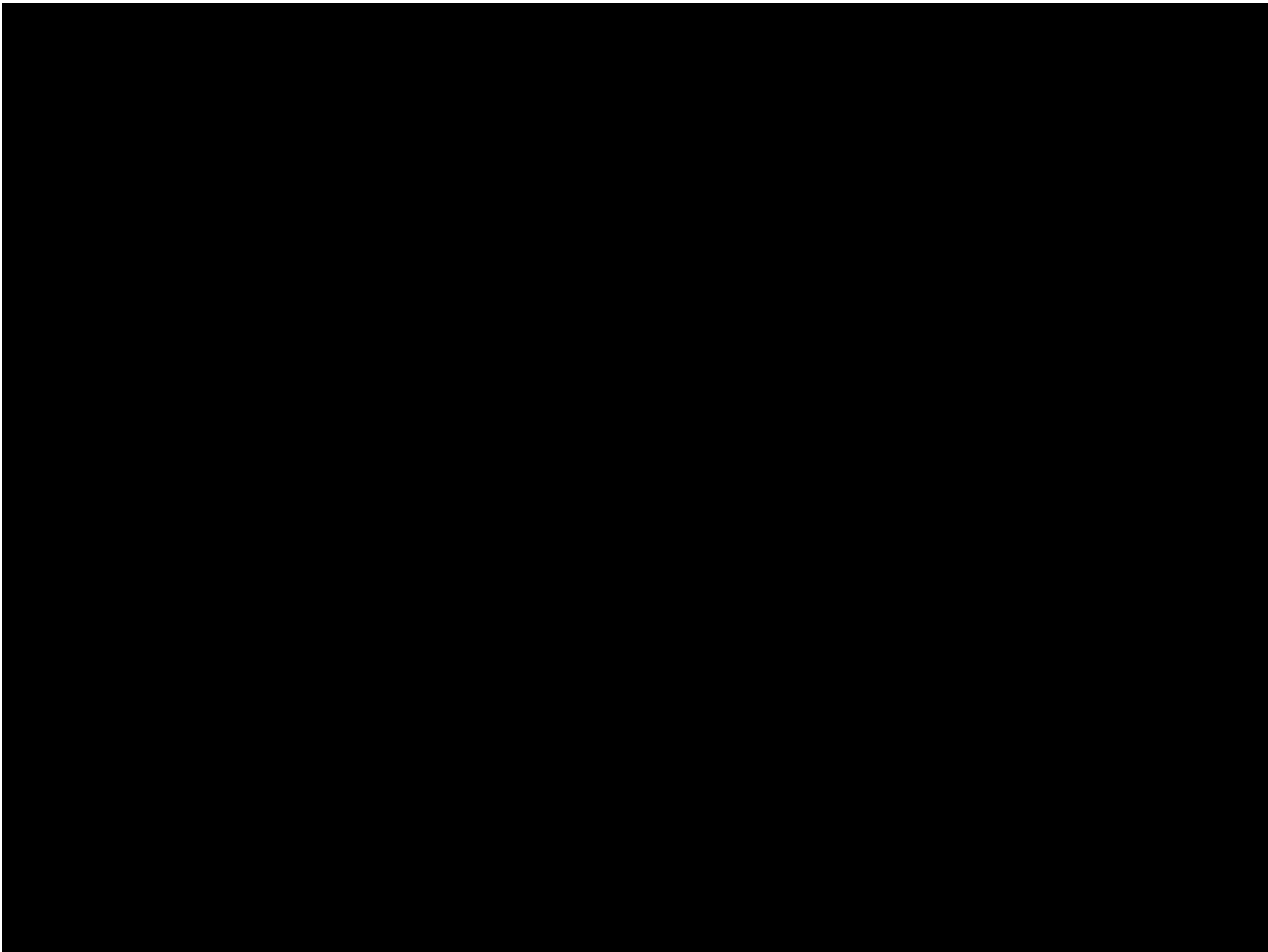
# La mission NEAR



## NEAR SCIENCE PAYLOAD









Range to Surface 5.462 km

# PERTE DE L'INFORMATION DE COMPOSITION INTERNE

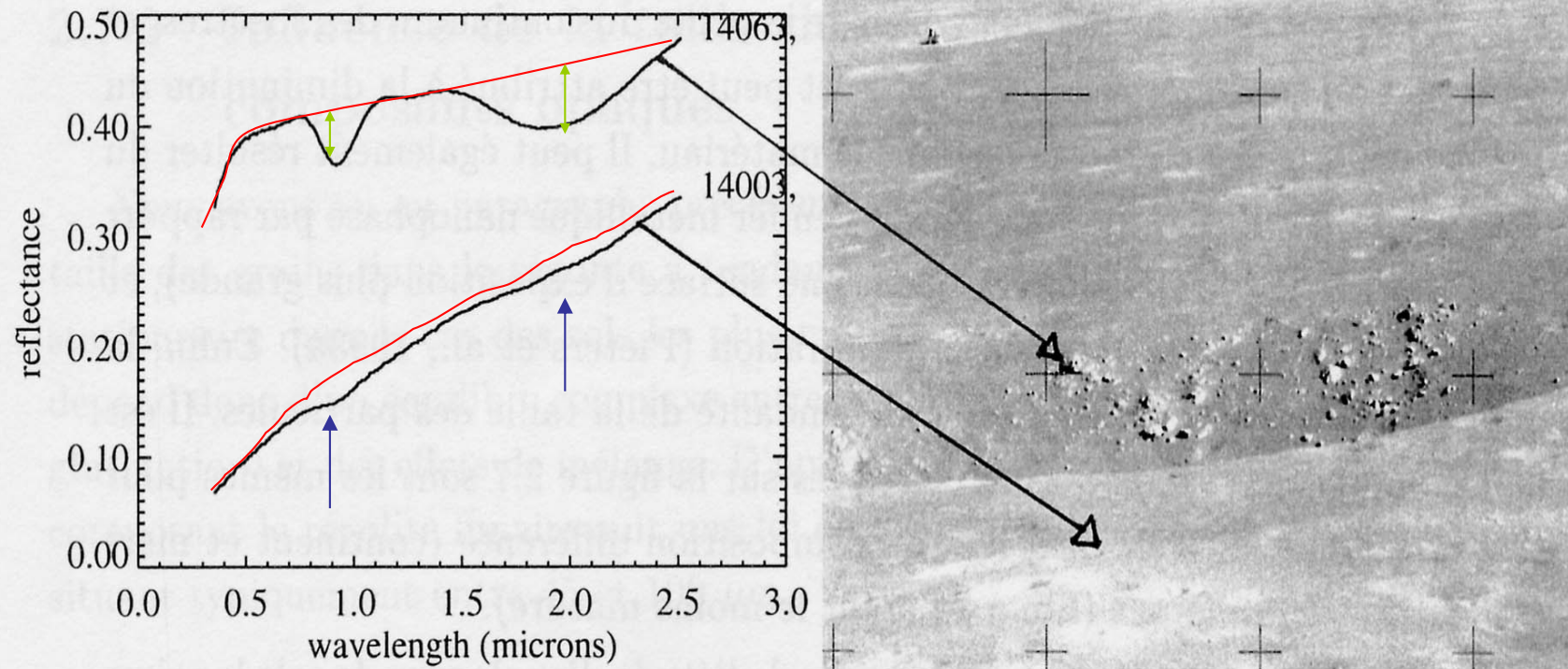
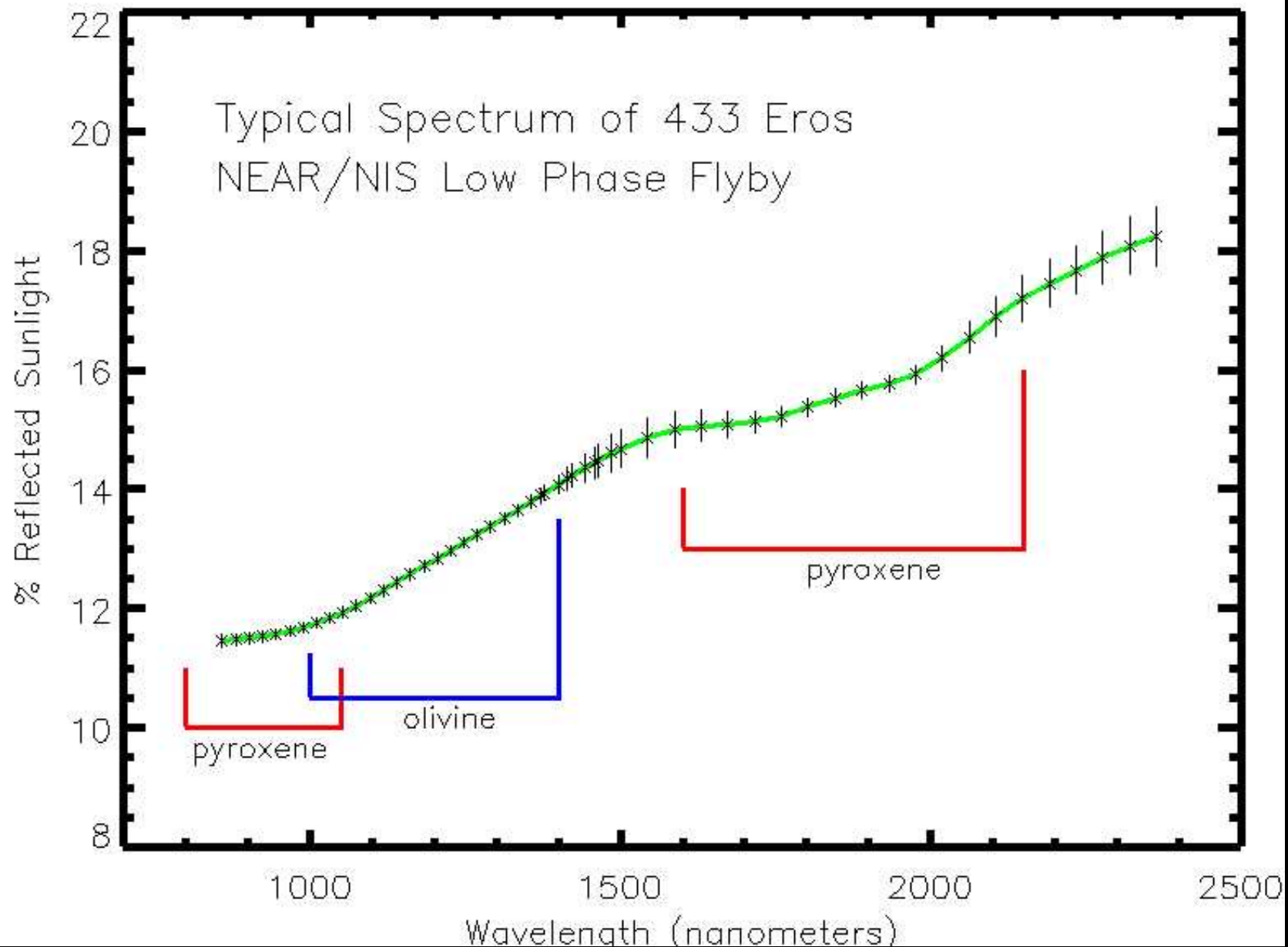


FIG. 2.8: A gauche : spectres d'échantillons de sol (14003) et de roche (14063) prélevés sur le site Apollo 14. Les sols ont des bandes d'absorption peu profondes par rapport aux roches (constituées de minéraux peu altérés) dont ils sont issus. Sur une échelle de quelques centaines de mètres un spectre moyen de cratère frais sera un mélange de spectres de type roches et de spectres de sol (à droite).





# BILAN DE L'OBSERVATION SOL ET SPATIALE

- Caractéristiques orbitales
- Taille et forme d'un astéroïde
- Densité
- Classification des astéroïdes
- Propriétés optiques de surface

**Information compositionnelle marginale**

# Partie II

Les météorites : une lecture  
de la nature des astéroïdes

# Astéroïdes primitifs = Objets fossiles

## Archives du système solaire

